

مقایسه زمین‌شیمیایی و توان کانه‌زایی مس پورفیری در توده‌های گرانیتوئیدی زون سنتدج-سیرجان و زون ارومیه-دختر: با استفاده از عناصر نادر خاکی

علیرضا زراسوندی^{*}، محسن رضایی، مجید طاشی، ذهرا فریدونی و مدینه ساعد

گروه زمین‌شناسی، دانشکده علوم زمین، دانشگاه شهید چمران اهواز، اهواز، ایران

دریافت مقاله: ۱۳۹۶/۰۸/۱۷، پذیرش: ۱۳۹۶/۰۲/۲۷

چکیده

توده‌های گرانیتوئیدی از جمله سنگ‌های نفوذی مهم مرتبط با کانه‌زایی‌های مس پورفیری در ایران هستند که اغلب در دو زون ساختاری ارومیه-دختر و سنتدج-سیرجان، هم به صورت کانه‌دار و هم به صورت عقیم دیده می‌شوند. توده‌های گرانیتوئیدی در این دو زون ساختاری به ترتیب در دوره‌های مزوژوئیک و سنوژوئیک بر اثر فرورانش لیتوسفر اقیانوسی نتوتیس و ماگماتیسم حاصل از برخورد و ذوب‌بخشی پوسته پایینی تشکیل شده‌اند. از جمله زون‌های ساختاری مهم همراه با کانه‌زایی مس پورفیری، زون ساختاری ارومیه-دختر است که شامل توده‌های گرانیتوئید بارور همچون توده نفوذی‌های سرجشمه، سونگون، میدوک، دره زرشک علی‌آباد، پرکام و دالی است. به موازات این زون آتشفسانی-نفوذی، زون ساختاری سنتدج-سیرجان است که توده‌های گرانیتوئیدی غیر بارور نظر توده‌های نفوذی الوند، حسن رباط، سیاه‌کوه، بروجرد، آستانه و الیگودرز را شامل می‌شود. بر اساس بررسی‌های انجام‌شده، از جمله ویژگی‌های زمین‌شیمیایی توده‌های گرانیتوئیدی بارور در زون ارومیه-دختر، می‌توان به آنومالی مثبت Eu، غنی‌شدگی به HREE و نسبت‌های بالای La_n/Yb_n, Sr/Y, La_n/Yb_n, Dy_n/Yb_n, Sm_n اشاره کرد. اما در مقابل ویژگی‌های زمین‌شیمیایی بارز توده‌های گرانیتوئیدی نابارور در زون ساختاری سنتدج-سیرجان نیز می‌توان آنومالی منفی Eu, شبیه ملامیم از LREE به La_n/Yb_n و نسبت‌های پایین La_n/Sm_n, Dy_n/Yb_n, Sr/Y را بیان کرد. تمامی ویژگی‌های یادشده، نشان‌دهنده این است که در قیاس با توده‌های بارور زون ارومیه-دختر، توده‌های گرانیتوئیدی جای‌گیر شده در زون سنتدج-سیرجان به علت عدم ضخیم‌شدگی پوسته در زمان فرورانش لیتوسفر اقیانوسی، کنترل تفریق ماگماتی توسط تبلور بخشی پلاژیوکلاز و محتوای آب ماگماتی پایین، دارای توان کانه‌زایی پورفیری نیست. در صورتی که جای‌گیری توده‌های گرانیتوئیدها در بازه زمانی الیگومیوسن، ضخیم‌شدگی حاصل از برخورد، تفریق ماگماتی بیشتر توسط تبلور بخشی هورنبلند کنترل و موجب پدیدآمدن احتمالی سنگ‌های شبه آداسیتی بارور و کانه‌زایی‌های مس پورفیری در زون ارومیه-دختر شده است.

واژه‌های کلیدی: زمین‌شیمی REE, گرانیتوئید، مس پورفیری، زون ساختاری سنتدج-سیرجان، زون ساختاری ارومیه-دختر

مقدمه

سنگ‌های گرانیتوئیدی بر اساس جایگاه زمین‌ساختی و ویژگی‌های زمین‌شیمیایی، به چهار دسته M, A, I و S تقسیم می‌شوند. گرانیتوئیدهای دسته I از مهم‌ترین نوع گرانیتوئیدهای مرتبط با نواحی فرورانش حاشیه قاره است و اغلب کانه‌زایی در

مثل سرچشمه، میدوک، سارا، سونگون، دالی، دره زرشک و علی‌آباد در زون ارومیه- دختر با توده‌های گرانیتوئیدی آستانه، الوند، سیاه‌کوه، الیگوردرز، بروجرد و حسن رباط موجود در زون سنتنگ- سیرجان بدون کانه‌زایی مورد بررسی و مقایسه قرار گرفته‌اند (شکل ۱). هدف از این پژوهش بررسی و بیان علت‌های احتمالی کانه‌دار بودن تعدادی از توده‌های نفوذی زون ساختاری ارومیه- دختر و عقیم‌بودن توده‌های نفوذی زون ساختاری سنتنگ- سیرجان با استفاده از داده‌های زمین‌شیمیایی است.

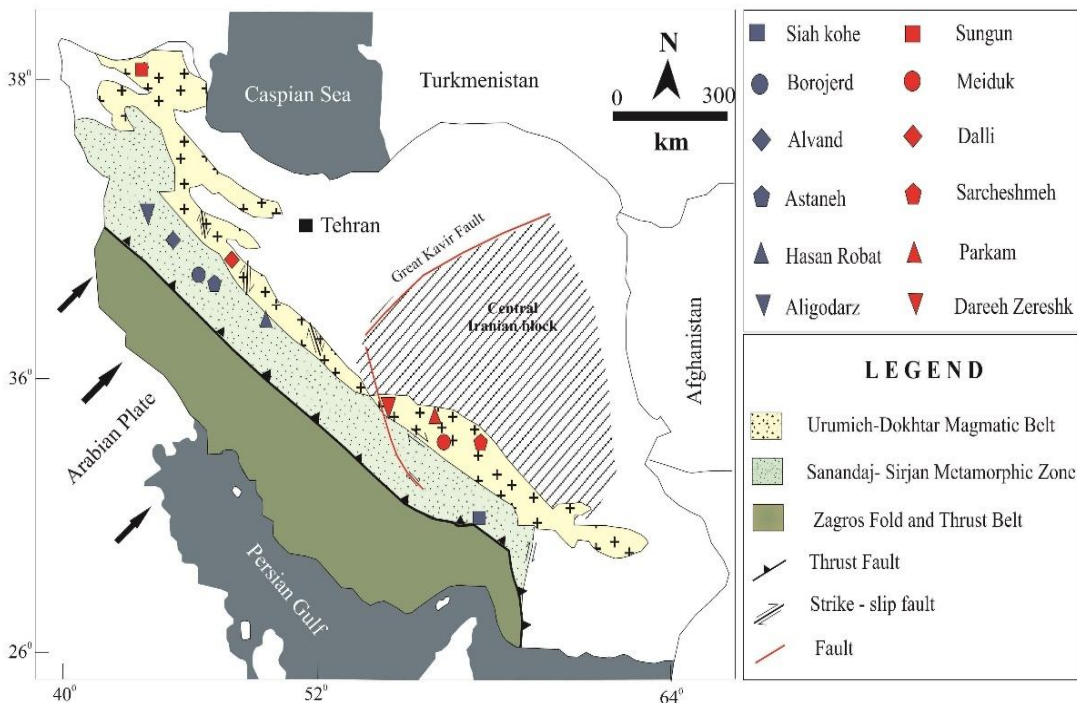
تاریخچه زمین‌ساختی

در دوره زمانی پر کامبرین تا پالئوزوئیک پسین، قسمت‌هایی از جنوب‌شرقی ترکیه، ایران مرکزی، افغانستان و عربستان بخشی از گندوانا بوده که در ادامه به‌وسیله اقیانوس پالئوتیس از پلیت اوراسیا جدا شده است. در اواخر پالئوزوئیک، اقیانوس پالئوتیس شروع به بسته‌شدن کرده و در تریاس میانی هم‌زمان با بسته‌شدن کامل پالئوتیس در شمال، ریفتی درون قاره‌ای به موازات زاگرس ایجاد شده است. نتیجه این بازشده‌گی تشکیل اقیانوس جدیدی با عنوان نشوتیس در زمان پرمین- تریاس است (Davoudzadeh and Schmidt, 1984). در ادامه با فروزانش بیشتر و بسته‌شدن نشوتیس و برخورد صفحات ایران مرکزی با صفحه عربی، کمریند کوه‌زایی زاگرس تشکیل شده است. در مورد چگونگی تشکیل زون ساختاری سنتنگ- سیرجان دگرگونشده و ارومیه- دختر و توده‌های نفوذی جای‌گیری شده در این دو زون ساختاری، می‌توان بیان کرد که هم‌زمان با فروزانش لیتوسفر اقیانوسی نشوتیس به زیر زون ساختاری سنتنگ- سیرجان در دوره تریاس- ژوراسیک، سنگ‌های آتش‌شانی- رسوبی این زون تحت تأثیر دگرگونی‌های سیمیرین پیشین قرار گرفته و توده‌های نفوذی در این زون ساختاری نفوذ کردند. در انتهای نیز با تغییر محور فروزانش لیتوسفر اقیانوسی و ضخیم‌شده‌گی پوسته در حین و پس از برخورد و بسته‌شدن کامل اقیانوس نشوتیس در دوره زمانی نفوژن، زون آتش‌شانی- نفوذی ارومیه- دختر به موازات زون

کانسارهای پورفیری مرتبط با این نوع گرانیتوئیدهای است (Sylvester, 1998). از جمله ویژگی‌های این توده‌ها می‌توان به عمق جای گیری کم (۵ تا ۱۰ کیلومتر)، ماگماتیسم مرتبط با فروزانش، میزان بالای آب ماگماتی و دمای حدود ۷۰۰ تا ۷۰۰ درجه سانتی‌گراد اشاره کرد (Richards, 2011). بر اثر فروزانش لیتوسفر اقیانوسی نشوتیس به زیر ورقه ایران و هم‌گرایی با پوسته قاره‌ای، در قسمت‌های غربی خرده قاره ایران و به موازات این خرده قاره، کمریند کوه‌زایی زاگرس پدیدار شده است. این کمریند کوه‌زایی شامل سه زون ساختاری (زون سنتنگ- سیرجان، ارومیه- دختر و زاگرس چین‌خورده- رانده) با امتداد شمال‌غرب- جنوب‌شرق است (Alavi, 1980; Berberian and King, 1981; Ghasemi and Tablot, 2006). از میان زون‌های ساختاری یادشده، دو زون زمین‌ساختی سنتنگ- سیرجان و ارومیه- دختر از زون‌های ساختاری مهم ایران هستند که تعداد زیادی توده نفوذی در این زون‌ها جای‌گیر شده است. همچنین روند کلی این دو زون ساختاری، شمال‌غرب- جنوب‌شرق است که بین زون‌های زمین‌ساختی Mohajjel et al., 2003). زون ارومیه- دختر با حضور تعداد زیادی کانسار پورفیری بزرگ و کوچک مرتبط با توده‌های نفوذی گرانیتوئیدی به مهم‌ترین منطقه مس‌خیز ایران شهرت دارد (Shafiei, 2012). بررسی‌های انجام شده نشان می‌دهند که این کانه‌زایی‌ها در ارتباط با گرانیتوئیدهای پورفیری با گرایش کالک‌آلکالن و شبه آدکیتی (به سن میوسن) همراه و همزاد است (Shafiei, 2012). از سوی دیگر، زون ساختاری سنتنگ- سیرجان به همراه تعداد زیادی توده نفوذی گرانیتوئیدی به سن اغلب ژوراسیک میانی، هیچ‌گونه آثاری از کانه‌زایی مس پورفیری ندارد. این موضوع خود می‌تواند دلیلی بر تفاوت اساسی از نظر محیط زمین‌ساختی و زمین‌شیمی گرانیتوئیدهای ژوراسیک زون سنتنگ- سیرجان با گرانیتوئیدهای حاوی Jazi et al., 2013). در این پژوهش با استفاده از زمین‌شیمی عناصر نادر خاکی، توده‌های گرانیتوئیدی همراه با کانسارهای مس پورفیری

.(Ghazi and Moazzen, 2015; Richards, 2015

سنندج-سیرجان تشکیل شده است (Alavi, 1980; Berberian and King, 1981; Mohajjal et al., 2003;



شکل ۱. پراکندگی توده‌های گرانیت‌وئیدی بارور و نابارور مورد بررسی در زون‌های ساختاری ارومیه- دختر و سنندج- سیرجان، با تغییراتی از بربریان و کینگ، زراسوندی و همکاران (Berberian and King, 1981; Zarasvandi et al., 2005)

Fig. 1. Distribution of barren and productive intrusions in the Urumieh-Dokhtar and Sanandaj-Sirjan zones (modified after Berberian and King, 1981; Zarasvandi et al., 2005)

ساختاری می‌توان به انواع شیست‌ها، مرمر و ماسه‌سنگ دگرگونشده با خاستگاه رسوی، ولکانیک و نیز گایس‌های گرانیتی اشاره کرد. درجه دگرگونی در این زون از زیر شیست سبز تا آمفیولیت است؛ گرچه دگرگونی غالب شیست سبز است. سن اغلب توده‌های نفوذی در این زون ساختاری بیشتر مربوط به دوره زمانی ژوراسیک است که در اثر فرورانش لیتوسفر اقیانوسی نتویس به زیر این زون، موجب جای‌گیری توده‌های نفوذی زیادی شده است. جنس بیشتر این توده‌های نفوذی گرانیت‌وئید، گرانیت و کوارتز دیوریت است (شکل ۱). تعداد توده‌های بازی با ترکیب گابرویی در بخش‌های جنوبی این زون نسبت به بخش‌های شمالی بیشتر است و سن توده‌های نفوذی در بخش‌های جنوبی سنندج- سیرجان اغلب قدیمی‌تر

زمین‌شناسی عمومی

زون ساختاری سنندج- سیرجان

زون ساختاری سنندج- سیرجان به صورت کمربند دگرگونی- نفوذی دارای ۱۵۰۰ کیلومتر طول و عرض میانگین ۱۵۰ کیلومتر شامل مجموعه‌های از واحدهای رسوی و ماقمایی به سن پر کامبرین پسین تا کرتاسه پیشین است (Alavi, 1980). بر اساس پژوهش‌های قاسی و تالبوت (Ghasemi and Talbot, 2006)، این زون ساختاری به دو بخش تقسیم می‌شود: زون سنندج- سیرجان شمالی (از گلپایگان تا سنندج) و زون سنندج- سیرجان جنوبی (از سیرجان تا گلپایگان) که به ترتیب هر کدام در کرتاسه پسین و تریاس میانی تا تریاس پسین متتحمل دگرگونی و دگرشکلی شده‌اند. از جمله سنگ‌های دگرگونی در این زون

(تریاس) از بخش‌های شمالی این زون (ژوراسیک و کرتاسه پسین) است (Alavi, 1994; Ghazi and Moazzen, 2015). از جمله توده‌های مورد بررسی در این پژوهش،

توده‌های نفوذی حسن رباط، آستانه، الیگودرز، الوند، بروجرد و سیاه‌کوه است (شکل ۱ و جدول ۱).

جدول ۱. ویژگی‌های مهم توده‌های نفوذی مورد بررسی در زون‌های ساختاری ارومیه-دختر و سندج-سیرجان

Table 1. Important features of studied intrusions in Urumieh-Dokhtar and Sanandaj-Sirjan zones

Name of intrusion	Structural zone	Magmatic Type	Petrology	Age(Ma)	Reference
Aligodarz	Sanandaj- Sirjan	I Type	Granitoid	182-165	(Esna-Ashari et al., 2012)
Boroujerd	Sanandaj- Sirjan	I Type	Granodiorite-quartzdiorite and monzogranite	171-169	(Khalaji et al., 2007)
Alvand	Sanandaj- Sirjan	S and I Types	Granit, leucogranite and gabbro	163-154	(Shahbazi et al., 2010; Aliani et al., 2012)
Astaneh	Sanandaj- Sirjan	I Type	Granitoid (quartzdiorites to monzogranites)	170	(Tahmasbi et al., 2010)
Hasan-Robat	Sanandaj- Sirjan	A Type	Granite	288	(Alirezaei and Hassanzadeh, 2012)
Siah-Kuh	Sanandaj- Sirjan	I Type	Granitoids	199	(Arvin et al., 2007)
Dalli	Urumieh-Dokhtar	I Type	Diorite and quartzdiorite	21	(Ayati et al., 2013)
Darreh-Zerresk and Ali-abad	Urumieh-Dokhtar	I Type	Quartz monzodiorite, granodiorite and granit	17-12	(Zarasvandi et al., 2005; Zarasvandi et al., 2007)
Parkam(Sara)	Urumieh-Dokhtar	I Type	Quartzdiorite and diorite	13	(Hassanzadeh, 1993; Taghipour and Mohammadi Laghab, 2014)
Sarcheshme	Urumieh-Dokhtar	I Type	Granitoid	11-10	(Ghorashizadeh, 1978; McInnes et al., 2005)
Meiduk	Urumieh-Dokhtar	I Type	Granodiorite	12.5	(Hassanzadeh, 1993; Taghipour, 2007)
Sungun	Urumieh-Dokhtar	I Type	Quartz monzonite-Monzonite	21-22	(Hezarkhani, 2006; Simmonds et al., 2016)

به صورت نوار آتشفسانی و نفوذی به موازات زون ساختاری سندج-سیرجان قرار گرفته است. از میان نظرات ارائه شده در

زون ساختاری ارومیه- دختر
زون ساختاری ارومیه- دختر با عرض حدود ۱۵۰ کیلومتر

بررسی‌ها نشان می‌دهد که این توده از نوع گرانیتوئیدهای نوع A غیرکوهزاد درون قاره‌ای است. سن این توده بر اساس روش U-Pb بر روی کانی زیرکن، مربوط به ۲۲۸ میلیون سال پیش، Alirezaei and Hassanzadeh, 2012 منطبق بر زمان پرمنین پایینی است (Hassanzadeh, 2012). بر اساس بررسی‌های زمین‌شیمیایی و سنگ‌شناسی، توده تفوذی حسن رباط دارای ترکیبی گرانوودیبوریتی تا مونزگرانیتی است که درون سنگ‌های دگرگونی تریاس و شیست‌های ژوراسیک نفوذ‌کرده است. با توجه به اینکه توده‌های گرانیتوئیدی نوع A مرتبط با اولین مراحل تشکیل کافت درون قاره‌ای هستند، به احتمال زیاد این توده‌ها مربوط به گسترش نتوتیس، بین سنتدج-سیرجان و زاگرس در ۲۲۸ میلیون سال پیش هستند. از این‌رو در نتیجه فرایند کشش، ماگماتیسم نوع A ایجاد شده است (Alirezaei and Hassanzadeh, 2012).

توده نفوذی بروجرد

توده نفوذی بروجرد با وسعتی در حدود ۳۵۰ کیلومتر مربع در شرق شهرستان بروجرد واقع شده است. این کمپلکس در بخش مرکزی زون سنتدج-سیرجان به طول ۶۰ و عرض ۸ تا ۱۰ کیلومتر با روند شمال‌غرب-جنوب‌شرق قرار گرفته است. توده نفوذی بروجرد به موازات گسل اصلی زاگرس در مجموعه دگرگونی همدان شامل شیست‌های درجه پایین تزریق شده است. از نظر سنگ‌شناسی، جنس توده‌ها بیشتر گرانوودیبوریت، Monzogranite و کوارتزدیبوریت است (Khalaji et al., 2007). بر اساس بررسی‌های سن‌سنگی (U-Pb) انجام شده بر روی کانی‌های زیرکن، سن این توده را حدود ۱۷۰ Ma تخمین زده‌اند (Khalaji et al., 2007).

توده نفوذی سیاه‌کوه

استوک گرانیتوئیدی سیاه‌کوه با وسعت تقریبی ۸۰ کیلومتر مربع در ۲۴۵ کیلومتری جنوب‌غرب کرمان و در زون ساختاری سنتدج-سیرجان واقع شده است. مقدار اولیه ایزوتوب

رابطه با این زون ساختاری، می‌توان به نظریه تشکیل این زون آتشفسانی-نفوذی در حاشیه قاره‌ای فعال در اثر فرورانش لیتوسفر اقیانوسی به زیر ایران مرکزی که به متاسوماتیز و ذوب‌بخشی لبه فرورونده در طول دوره کوهزادی آلبی منجر شده است، اشاره کرد (Takin, 1972; Berberian et al., 1982; Alavi, 1994). در اثر این فرورانش توده‌های پلوتونیک-مزوزوئیک پسین و پالئوژن درون سنگ‌های رسوبی کرتاسه نفوذ کرده‌اند. از نظر سنگ‌شناسی، این زون ساختاری شامل سنگ‌های پیروکلاستیک، دیوریت، گابرو، تراکی بازالت، داسیت، ایگنمبریت و توف است که این سنگ‌ها توسط توده‌های نفوذی گرانیتوئیدی با سن الیگومیوسن قطع شده‌اند (Alavi, 1994). آغاز فعالیت آتشفسانی-نفوذی در این زون مربوط به دوره زمانی ائوسن و اوچ فعالیت‌ها نیز در دوره زمانی ائوسن میانی رخداده است (Berberian and King, 1981). همچنین عمدۀ فعالیت ماگماتیسم و کانه‌زایی مس در زون ساختاری ارومیه-دختر مربوط به سه دوره زمانی ۱-ائوسن-الیگوسن (Ahmadian et al., 2009)، ۲-الیگوسن میانی و پسین (Kirkham and Dunne, 2000) و ۳-میوسن میانی و پسین (Shahabpour and Kramers, 1987) است. از جمله توده‌های گرانیتوئیدی همراه با کانسارهای مس پورفیری در این زون ساختاری، توده‌های گرانیتوئیدی کانسارهای مس سرچشم، دالی، میدوک، سونگون، پرکام، دره زرشک و علی‌آباد رامی توان نامبرد (شکل ۱ و جدول ۱). در ادامه به توصیف خلاصه‌ای از ویژگی‌های توده‌های گرانیتوئیدی یادشده در زون‌های ساختاری ارومیه-دختر و سنتدج-سیرجان می‌پردازیم.

توده نفوذی حسن رباط

توده گرانیتوئیدی حسن رباط در ۳۸ کیلومتری غرب میمه و در شرق روستای حسن رباط استان اصفهان، در زون سنتدج-سیرجان واقع شده است (شکل ۱). این توده یکی از قدیمی‌ترین توده‌های نفوذی گرانیتوئیدی حاصل از فرورانش نتوتیس است.

سنگ‌شناختی جنس این توده نفوذی بیشتر کوارتزدیوریت، گرانودیوریت و گرانیت است که مرتبط با فرورانش لیتوسفر اقیانوسی نوتیس و ذوب پوسته است. با توجه به بررسی‌های U-Pb انجام شده بر روی کانی زیرکن، سن این توده‌ها ۱۶۵ میلیون سال است (Esna-Ashari et al., 2012).

توده نفوذی آستانه

توده گرانیتوئیدی آستانه با ترکیب اصلی گرانودیوریتی از مونزو-گرانیت تا کوارتزدیوریت تغییر می‌کند. این توده نفوذی با وسعتی در حدود ۳۰ کیلومتر مربع در ۴۰ کیلومتری اراک و در زون سنتدج- سیرجان واقع شده است (شکل ۱). بررسی‌های سن‌سنگی انجام شده به روش Rb/Sr بر روی سنگ‌های کوارتزدیوریت و گرانودیوریت نشان می‌دهد سن این توده نفوذی ژوراسیک میانی به سن ۱۷۰ میلیون سال است.

توده نفوذی کانسار مس پورفیری پرکام

توده نفوذی کانسار پورفیری پرکام (سارا) در ۸۵ کیلومتری شمال‌غرب کانسار پورفیری سرچشمه، استان کرمان در زون ساختاری ارومیه- دختر واقع شده است (شکل ۱). میانگین مس در این کانسار ۰/۱۶ و مولیبدن ۱۲ پی‌پی‌ام است. کانه‌زایی در این کانسار مرتبط با استوک‌های دیوریتی و کوارتزدیوریت‌هایی است که در سنگ‌های آتش‌شانی- رسوبی آندزیت و آندزیت بازالت‌های ائوسن (کمپلکس رازک) نفوذ کرده‌اند (Taghipour and Mohammadi Laghab, 2014) اساس پژوهش حسن‌زاده (Hassanzadeh, 1993) به روش $^{40}\text{Ar}/^{39}\text{Ar}$ ، سن این توده‌ها میوسن (۱۳ میلیون سال) است. از نظر کانی‌شناسی سنگ‌های دیوریتی شامل پلاژیوکلاز (۳۵ تا ۵۰ درصد)، هورنبلند (۱۰ درصد) و بیوتیت (۳ تا ۵ درصد) است و سنگ‌های کوارتزدیوریتی نیز دارای پلاژیوکلاز (۴۵ تا ۵۰ درصد)، هورنبلند (۸ تا ۱۲ درصد)، بیوتیت (۳ تا ۵ درصد) و میزانی کوارتز (۱۰ درصد) است (Mohammadi laghab et al., 2012).

$\text{Nd}^{143}/\text{Nd}^{144}$ بین ۰/۵۱۲۴۷ تا ۰/۵۱۲۵۰، نشان‌دهنده منشاء‌گرفتن ماگما از جبه و ذوب پوسته است (Arvin et al., 2007). آنالیز ایزوتوپ ساماریم- نئودیوم بر روی سنگ‌های گرانیتوئیدی نشان می‌دهد که این توده نفوذی مربوط به تریاس بالایی به سن تقریبی ۱۹۹ ± ۳۰ میلیون سال است که در میان سنگ‌های دگرگون شده شیسته‌های سبز دونین بالایی- کربونیفر پایینی زون سنتدج- سیرجان نفوذ کرده است. از نظر سنگ‌شناختی جنس توده بیشتر سنگ‌های گرانودیوریتی، مونزو-گرانیتی و آلکالی گرانیت است.

توده نفوذی الوند

مجموعه نفوذی‌های الوند با روند شمال‌غرب- جنوب‌شرق در بخش شمالی نوار دگرگونی سنتدج- سیرجان به عنوان یکی از توده‌های نفوذی در غرب ایران به شمار می‌آید (Aliani et al., 2012). پی‌سنگ اطراف پلوتون از سنگ‌های متابلیتی تریاس- ژوراسیک و برای مثال فیلیت‌های همدان تشکیل شده است (Mohajjel et al., 2003). از نظر ترکیب سنگ‌شناختی، عمدۀ سنگ‌های این توده نفوذی از دسته سنگ‌های گابرو دانه‌ریز، متوسط‌دانه، گرانیت‌های پورفیری متنوع میلیونیتی شده و Shahbazi et al., (2010). با توجه به ویژگی‌های کانی‌شناسی، زمین‌شیمیایی و زمین‌شناسی، سنگ‌های گرانیتی الوند از نوع S و سنگ‌های گرانیتوئیدی از نوع I است (Aliani et al., 2012). منشاء سنگ‌های گابرویی، دیوریتی و تونالیتی الوند را مگما‌تولئیتی با منشاء گوشته‌ای و منشاء گرانیت‌های پورفیری را پوسته‌ای در نظر می‌گیرند که در اثر فرورانش پوسته اقیانوسی نئوتیس به زیر زون سنتدج- سیرجان ایجاد شده است (Aliani et al., 2012).

توده نفوذی الیگودرز

کمپلکس گرانیتوئیدی الیگودرز در زون ساختاری سنتدج- سیرجان در غرب ایران واقع شده است (شکل ۱). از نظر

کوارترزدیوریت است که در میان سنگ‌های آندزیتی، آندزیت بازالت و سنگ‌های پورفیری ریوداسیت نفوذ‌کرده است (Fatehi and Asadi Haroni, 2019). بررسی‌های پتروگرافی بیانگر آن است که کانی‌های تشکیل‌دهنده سنگ میزبان کانه‌زایی بیشتر کانی‌های فنوکریست پلاژیوکلاز، هورنبلند و بیوتیت است. بررسی‌های سنتنجی به‌روش $^{40}\text{Ar}/^{39}\text{Ar}$ ، نشان می‌دهد سن جای‌گیری توده نفوذی ۲۱ میلیون سال است (Ayati et al., 2013).

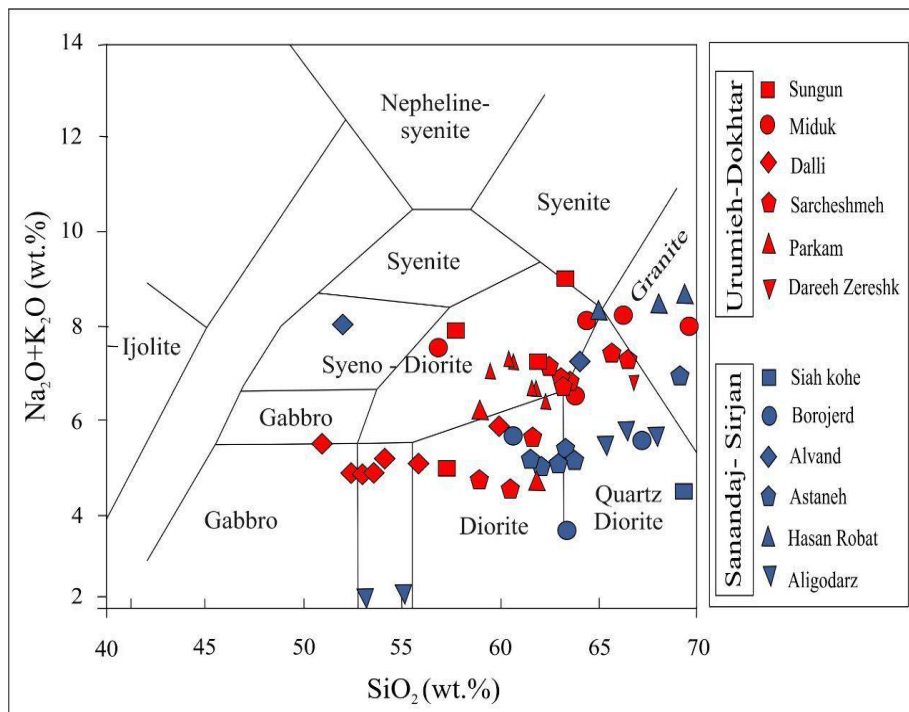
توده نفوذی کانسار مس پورفیری سونگون
توده نفوذی کانسار مس سونگون در استان آذربایجان شرقی و در ۷۵ کیلومتری شمال‌غرب شهرستان اهر واقع شده است. از نظر ساختاری این توده نفوذی در شمال زون ساختاری ارومیه- دختر قرار گرفته است (شکل ۱). سنگ میزبان کانه‌زایی بیشتر مونزونیت، کوارتز مونزونیت و کمتر دیوریت- گرانودیوریت است (شکل ۲) که درون سنگ‌های آهکی کرتاسه و توف- آگلومرات‌ها و آندزیت‌های ائوسن نفوذ‌کرده است (Hezarkhani, 2006; Simmonds et al., 2016). مشاهدات پتروگرافی نشان می‌دهد که سنگ‌های مونزونیت و کوارتز مونزونیت در کانسار دارای پلاژیوکلاز (۲۵ تا ۴۰ درصد)، فلدسپار پتاسیم‌دار (کمتر از ۱۵ درصد)، هورنبلند (بیشتر از ۳ درصد)، بیوتیت (کمتر از ۱۰ درصد) و کوارتز (۲۰ درصد) است. از طرفی سنگ‌های گرانیت‌وئیدی و دیوریتی کانسار نیز دارای پلاژیوکلاز (۲۰ درصد)، هورنبلند (۱۰ درصد) و بیوتیت (۳ درصد) است (Hezarkhani, 2006). بر اساس پژوهش کلاگری (Calagari, 2003)، هیچ‌گونه کانه‌زایی سوپرژن در کانسار دیده نمی‌شود و کانه‌زایی مس نیز مربوط به دگرسانی‌های پتاسیک، پتاسیک- فیلیک، فیلیک و پروپلیتیک است. همچنین، این کانسار ذخیره‌ای بالغ بر ۸۵۰ میلیون تن مس به صورت سولفیدی با عیار ۶۲/۰ درصد و ۱۰/۰ مولیبدن را دارد (Hezarkhani and Williams-Jones, 1998; Simmonds et al., 2016).

توده نفوذی کانسارهای پورفیری دره زرشک و علی‌آباد

توده‌های نفوذی کانسارهای مس پورفیری دره زرشک و علی‌آباد در ۶۰ کیلومتری جنوب‌غرب یزد و در زون ساختاری ارومیه- دختر قرار گرفته است (شکل ۲). از نظر سنگ‌شناسی جنس عمده توده‌های نفوذی مرتبط با کانه‌زایی، کوارتز مونزوندیوریت، گرانودیوریت تا گرانیت‌های الیگومن تا میوسن Zarasvandi (۱۷-۱۲ Ma/ $^{40}\text{K}/^{39}\text{Ar}$) است (et al., 2004) که در واحدهای رسوبی کرتاسه و توالی آتشفسانی- رسوبی بعد از آن (ائوسن) نفوذ‌کرده است. از نظر کانی‌شناسی سنگ‌های کوارتز مونزونیتی توده اغلب شامل فنوکریست‌هایی از پلاژیوکلازهای زونینگ‌دار با میزان بالای هورنبلندهای آلتره‌شده در زمینه‌ای از کانی‌های ریزبلور همچون پلاژیوکلاز، کوارتز، هورنبلند و بیوتیت قرار گرفته است. سنگ‌های گرانودیوریت کانسار نیز شامل ۲۰ تا ۵۰ درصد کانی پلاژیوکلاز به‌همراه کوارتز، هورنبلند و بیوتیت است. بررسی‌ها و مشاهدات ساختارهای زمین‌شناسی کانسار نیز بیانگر آن است که اغلب کانه‌زایی در بین فضاهای خالی سیستم‌های برشی مرتبط با گسل دهشیر- بافت است. همچنین شکستگی‌ها و فضاهای برشی ایجاد شده در اثر گسل دهشیر- بافت، موجب گسترش زون غنی‌شده سوپرژن در این کانسار شده است (Zarasvandi et al., 2005).

توده نفوذی کانسار مس- طلای پورفیری دالی

توده نفوذی کانسار مس- طلای پورفیری دالی در بخش مرکزی کمان ماجماهی ارومیه- دختر واقع شده است. این توده نفوذی پورفیری به دو بخش شمالی و جنوبی کانه‌دار تقسیم می‌شود. توده‌های پورفیری جنوبی دارای بیشترین کانه‌زایی هستند. کانسار دالی از نظر تنازع دارای ۸ میلیون تن ذخیره مس با عیار ۵/۰ درصد و ۷۵ گرم بر تن طلاست و به عنوان اولین کانسار مس پورفیری همراه با طلا در نظر گرفته می‌شود (Ayati et al., 2013; Pourkaseb et al., 2017). سنگ میزبان کانه‌زایی در این کانسار بیشتر دیوریت و استوکه‌های



(Mackenzie et al., 1979) برای توده‌های نفوذی زون ساختاری ارومیه-دختر و سنندج-سیرجان (1979)

Fig. 2. TAS classification diagram (Mackenzie et al., 1979) for intrusions of Urumieh-Dokhtar and Sanandaj-Sirjan zones

۳ تا ۵ درصد بیوتیت است. از جمله دگرسانی‌های شاخص در این کانسار، دگرسانی پتاسیک، فیلیک، آرژیلیک و پروپلیتیک است. بررسی‌های سن‌سنگی به روش اورانیوم-توریم بر روی توده‌های نفوذی گرانیتوئیدی، سن ۱۰/۹ میلیون سال را نشان می‌دهد (McInnes et al., 2005). این کانسار همچنین دارای تناز ۱۲۰۰ میلیون تن کانسنسگ سولفیدی با عیار ۰/۷ درصد مس و ۰/۰۳ مولیبدن است (Shafiei and Shahabpour, 2008).

توده نفوذی کانسار مس پورفیری میدوک

توده نفوذی مرتبط با کانه‌زایی مس پورفیری میدوک در ۱۳۵ کیلومتری شمال غرب سرچشمه و در شهر بابک واقع شده است. بر اساس پژوهش حسن‌زاده (Hassanzadeh, 1993)، سنگ میزبان این کانه‌زایی توالی آتشفسانی رازک در زون ساختاری ارومیه-دختر است. بررسی‌های سن‌سنگی به روش $^{40}\text{Ar}/^{39}\text{Ar}$

توده نفوذی کانسار مس پورفیری سرچشمه
کانسار مس پورفیری سرچشمه از بزرگ‌ترین کانسارهای مس پورفیری در ایران است. توده نفوذی مرتبط با کانه‌زایی مس پورفیری کانسار سرچشمه در ۶۵ کیلومتری جنوب غرب کرمان و در زون ساختاری ارومیه-دختر واقع شده است (شکل ۱). این توده نفوذی مرتبط با کانه‌زایی از نوع استوک پورفیری گرانودیوریتی، توده‌های تأخیری دانه‌ریز گرانیتی و انواع دایک‌های هورنبلندر، پلازیوکلاز و بیوتیت پورفیری آندزیتی تا داسیتی با سن میوسن است که در میان سنگ‌های رسویی کرتاسه و سنگ‌های آتشفسانی ائوسن و الیگوسن با ترکیب آندزیتی نفوذ کرده است (Aghazadeh, 2015). بر اساس بررسی‌های پتروگرافی شفیعی (Shafiei, 2010)، کانی‌های تشکیل‌دهنده سنگ میزبان کانه‌زایی شامل ۵۵ درصد پلازیوکلاز، ۲۰ درصد هورنبلندر، ۱۰ درصد فلدسپار پتاسیم دار و

از داده‌های آنالیز شده، ۸۲ نمونه (جدول‌های ۲ و ۳) برای مقایسه‌سازی این توده‌ها با هم استفاده شده است. این پژوهش بر مبنای رفتار زمین‌شیمیایی عناصر نادر خاکی و اکسیدهای اصلی عناصر با استفاده از آنالیز دستگاهی فلورورسانس پرتو ایکس^۱ و طیف‌سنج جرمی جفت پلاسمای القا شده^۲ است. داده‌های زمین‌شیمیایی در این پژوهش از مقالات منتشر شده در مجلات معتبر جمع‌آوری شده است و اغلب نمونه سنگ‌های گرانیت‌وئیدی در آزمایشگاه Acme کانادا تحت آنالیز قرار گرفته‌اند. همچنین، دو معیار مهم برای انتخاب نمونه‌های سنگی آنالیز شده از توده‌های موجود در این دو زون ساختاری، ۱- شباht نسبی کانی‌شناسی و ترکیب سنگ‌شناختی و ۲- کمترین میزان دگرسانی است.

بحث و بررسی

زمین‌شیمی عناصر اصلی و فرعی

از لحاظ زمین‌شیمی عناصر اصلی و فرعی، در این پژوهش اغلب نمونه‌های توده‌های نفوذی زون سنتدج- سیرجان و ارومیه- دختر، به ترتیب در محدوده سنگ‌های گرانیتی و گرانوپوریتی نمودار TAS (Mackenzie et al., 1979) قرار گرفته است. نمودار K₂O (شکل ۲). همچنین بر اساس نمودار Na₂O در برابر Chappell and White, 2001) که برای مشخص کردن نوع ماگماتیسم استفاده می‌شود، بیشتر نمونه‌های توده‌های نفوذی زون سنتدج- سیرجان و ارومیه- دختر در محدوده ماگماتیسم نوع I قرار دارند (شکل ۳) که در ارتباط با فرونش نوتیس به زیر ایران مرکزی هستند. از جمله ویژگی مهم توده نفوذی‌های زون سنتدج- سیرجان می‌توان به تهی شدگی عناصر Nb, Ti, P و Sr که مرتبط با محیط‌های زمین‌ساختی حاشیه قاره‌ای فعال است، اشاره کرد (جدول ۲). به طور کلی توده‌های نفوذی زون ساختاری ارومیه- دختر دارای غنی شدگی در عناصر کمیاب همچون Cs, Rb, K, Th, Ba, LILE و U است (جدول ۳).

بر روی کانی آلتیت نشان می‌دهد که توالی آتشفسانی رازک مربوط به ۳۷/۵ میلیون سال پیش است. عامل کانه‌زایی در این کانسار نیز مرتبط با استوک‌های کوارتز دیوریت است که شدیداً آلتزه شده و حاوی ۴۰ تا ۵۰ درصد کانی‌های فنوکریست پلازیوکلاز، کوارتز، هورنبلند و بیوتیت است که در زمینه ریزبلور از کانی‌های کوارتز، بیوتیت، آپاتیت، Asadi et al., 2013 پلازیوکلاز، فلدسپار پاتاسیم و انیدریت قرار گرفته است (Re-Os بر روی مولیبدنیت حدود ۱۲/۲۳ میلیون سال) است (Taghipour, 2007). این کانسار دارای تناثر ۱۲۵ میلیون تن کانسنگ سولفیدی با عیار ۱/۱۵ درصد مس است.

روش مطالعه

این پژوهش بر اساس بررسی‌های کتابخانه‌ای و نقد و بررسی پژوهش‌های پیشین انجام شده است. بدین منظور، در ابتدا داده‌های زمین‌شیمیایی توده‌های مرتبط با کانه‌زایی مس پورفیری در زون ساختاری ارومیه- دختر جمع‌آوری شده است. سپس در ادامه با جمع‌آوری داده‌های زمین‌شیمیایی توده‌های گرانیت‌وئیدی زون سنتدج- سیرجان، این توده‌های نفوذی غیربارور با توده‌های نفوذی بارور مقایسه شده است. از جمله توده‌های نفوذی مورد بحث همراه با کانه‌زایی مس پورفیری در زون ارومیه- دختر می‌توان به توده‌های کانسارهای مس پورفیری سرچشم، میدوک، پرکام، دالی، سونگون، دره زرشک و علی‌آباد اشاره کرد. جنس غالب ترکیب سنگ‌شناختی این توده‌ها بیشتر کوارتزدیوریت و گرانوپوریت است. از توده‌های نفوذی غیر کانه‌دار زون سنتدج- سیرجان که اغلب دارای سن ژوراسیک است، می‌توان توده‌های نفوذی الیگودرز، آستانه، حسن ریاط، بروجرد، سیاه‌کوه و الوند را نام برد. جنس سنگ‌شناختی این توده‌ها نیز بیشتر کوارتز دیوریت، گرانیت، گرانوپوریت و مونزو-گرانیت است. در این پژوهش، در مجموع

1. X-ray fluorescence

2. Inductively coupled plasma mass spectrometry

جدول ۲. داده‌های عناصر نادر خاکی و اکسیدهای اصلی در گرانیت‌وئیدهای زون سنندج- سیرجان. علایم و منابع داده‌ها: الیگودرز (Esna-Ashari et al., 2012), بروجرد (Khalaji et al., 2007)، الوند (Aliane et al., 2012)، آستانه (Tahmasbi et al., 2010)، حسن رباط (Alivani et al., 2012)، سیاه کوه (Arvin et al., 2007)، کوارتز دیوریت، qz-di: gdr: گراندیوریت، gr: گرانیت، mg: مونزو گرانیت، lugr: لوکوگرانیت، mes: مژوگرانیت گرانیتoid، lumg: لوکومونزو گرانیت، alk-gr: آلکالی گرانیت

Table 2. Major and rare earth elements concentration (ppm) in granitoids of Sanandaj-Sirjan zone, Symbols and references: Aligodarz, (Esna-Ashari et al., 2012); Bourujerd, (Khalaji et al., 2007); Alvand, (Aliane et al., 2012); Astaneh, (Tahmasbi et al., 2010); Hasan robat, (Alivane and Hassanzadeh, 2012); Siah kohe, (Arvin et al., 2007). Abbreviations: qz-di: quartz diorite; gdr: granodiorite; gr: granite; mg: monzo granite; lugr: leucogranite; mes: mesocratic granitoid; lumg: leucomonzo granite; alk-gr: alkali granite

Sample no	Aligodarz							Brojerd						
	AL75	AL88	AL60	AL36	B05	AL20	AL21-2	G14	G16	MA3a	AS2	GM5a	G22a	AG19
Lithology	qu-di	qu-di	gdr	gdr	gdr	gr	gr	gdr	gdr	gdr	gdr	mg	mg	Mg
La	13.3	13.7	37.8	35.9	34.9	10.3	7.4	13.8	68.3	52.3	48.7	28.6	7.3	42.7
Ce	26.1	27.6	75.8	71.8	72.7	20.4	14.2	32.9	147.0	94.1	93.6	52.2	18.0	74.6
Pr	3.1	3.3	9.0	8.5	8.5	2.3	1.6	3.8	14.8	10.6	10.0	6.0	2.4	7.2
Nd	11.7	12.6	33.1	31.1	30.5	7.7	5.4	14.8	49.4	35.8	33.1	21.2	9.8	23.0
Sm	2.5	2.6	6.7	6.4	6.1	1.9	1.4	3.9	8.3	6.3	6.6	3.9	4.0	4.5
Eu	0.7	0.8	1.0	1.1	1.0	0.3	0.2	0.1	1.1	0.6	1.2	0.2	0.1	0.9
Gd	2.5	2.6	6.4	5.9	5.8	2.1	1.5	3.8	7.8	5.7	6.6	3.7	5.7	4.6
Tb	0.4	0.4	0.9	0.8	0.9	0.5	0.3	0.6	1.0	0.8	0.8	0.5	1.2	0.7
Dy	2.5	2.4	4.8	4.5	4.7	3.0	1.8	3.7	5.7	4.5	5.1	2.7	8.8	4.2
Ho	0.5	0.5	0.9	0.9	0.9	0.7	0.4	0.7	1.1	0.9	1.0	0.6	2.0	0.8
Er	1.6	1.5	2.6	2.6	2.9	2.0	1.1	2.1	3.4	2.8	3.1	1.6	6.0	2.5
Tm	0.3	0.2	0.4	0.4	0.4	0.3	0.2	0.3	0.5	0.4	0.4	0.2	1.0	0.4
Yb	1.6	1.5	2.3	2.5	2.5	2.4	1.3	1.9	3.4	2.7	2.9	1.5	6.6	2.9
Lu	0.2	0.2	0.4	0.4	0.4	0.4	0.2	0.3	0.5	0.4	0.4	0.2	0.9	0.4
Rb	70.0	45.0	167.0	140.0	149.0	138.0	174.0	103.0	128.0	40.8	143.0	29.3	189.0	129.0
Ba	184.0	121.0	356.0	329.0	389.0	103.0	67.0	242.0	596.0	80.2	441.0	173.0	38.5	320.0
Y	13.5	12.6	23.7	23.2	25.4	18.7	10.4	20.4	30.7	27.8	27.2	15.2	59.5	22.8
Sr	99.0	153.0	121.0	140.0	153.0	42.0	35.0	299.0	263.0	26.9	200.0	65.9	27.8	122.0
Na ₂ O	0.9	1.3	2.4	2.5	2.4	3.0	3.0	1.4	2.2	4.8	3.0	4.2	3.7	3.8
K ₂ O	1.5	1.0	3.5	3.1	3.4	4.7	5.2	2.3	3.5	1.3	4.1	1.4	4.6	3.8
SiO ₂	55.2	53.2	66.5	65.4	67.9	75.6	73.5	63.4	60.7	71.4	70.6	67.2	75.1	73.7
(Dy/Yb)n	1.0	1.0	1.3	1.2	1.2	0.8	0.9	1.3	1.1	1.1	1.1	1.2	0.9	0.9
(La/Yb)n	5.5	6.1	11.0	9.8	9.4	3.0	3.8	4.9	13.6	13.1	11.3	12.9	0.8	9.9
(La/Sm)n	3.4	3.3	3.6	3.5	3.6	3.4	3.3	2.2	5.2	5.2	4.7	4.6	1.2	6.0
Eu/Eu*	0.9	0.9	0.5	0.6	0.5	0.5	0.4	0.1	0.4	0.3	0.6	0.2	0.1	0.6
Sr/Y	7.3	12.1	5.1	6.0	6.0	2.3	3.4	14.7	8.6	1.0	7.4	4.3	0.5	5.3

دادمه جدول ۲ داده‌های عناصر نادر خاکی و اکسیدهای اصلی در گرانیت‌وئیدهای زون سنندج- سیرجان. علایم و منابع داده‌ها: الیگودرز (Esna-)، بروجرد (Ashari et al., 2012)، آستانه (Aliani et al., 2012)، الوند (Khalaji et al., 2007)، حسن رباط (Tahmasbi et al., 2010)، سیاه کوه (Arvin et al., 2007)، کوارتز دیوریت (Alirezaei and Hassanzadeh, 2012)؛ qz-di: گرانودیوریت، gdr: گرانو-دیوریت، gr: گرانیت، lumg: لوکومونزو-گرانیت، alk-gr: آلکالی گرانیت، mes-grt: مونزو-گرانیت، lugr: لوکوگرانیت، mg: گرانیت، alk-grt: آلکالی گرانیت، lumg: لوکومونزو-گرانیت، alk-gr: آلکالی گرانیت

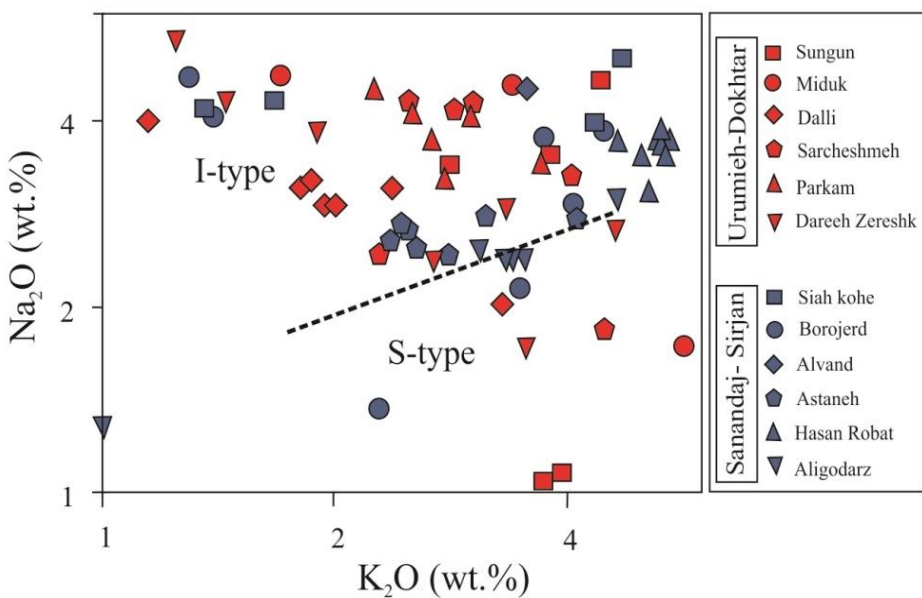
Table 2 (Continued). Major and rare earth elements concentration (ppm) in granitoids of Sanandaj-Sirjan zone, Symbols and references: Aligodarz, (Esna-Ashari et al., 2012); Bourujerd, (Khalaji et al., 2007); Alvand, (Aliani et al., 2012); Astaneh, (Tahmasbi et al., 2010); Hasan robat, (Alirezaei and Hassanzadeh, 2012); Siah kohe, (Arvin et al., 2007). Abbreviations: qz-di: quartz diorite; gdr: granodiorite; gr: granite; mg: monzo granite; lugr: leucogranite; mes-grt: mesocratic granitoid; lumg: leucomonzo granite; alk-gr: alkali granite

Sample no	Alvand							Astaneh						
	A.S7.G10	A.S12.G11	A.S8.G4	A.S.G5	A.S6.G21	A.S.G11	A.S9.G6	Sa2	20	Sa14	14	As5	24	CSa15
Lithology	gr	mes grt	mes grt	mes grt	lugr	lugr	gr	mg	gdr	gdr	qu-di	qu-di	Mg	
La	9.3	67.8	3.8	25.4	8.5	62.5	3.4	26.3	23.7	34.3	17.9	20.6	12.1	23.0
Ce	19.1	128.0	7.5	57.7	15.8	132.0	7.6	50.0	46.5	63.6	36.9	41.5	26.0	46.6
Pr	2.2	14.3	0.8	8.7	1.8	15.9	1.0	6.3	5.8	8.3	4.8	5.1	3.2	5.5
Nd	7.9	5.0	2.9	41.1	6.2	58.8	3.4	19.6	18.8	25.7	16.1	18.7	11.6	19.4
Sm	2.0	8.6	0.6	15.9	3.5	11.9	1.1	4.0	3.8	5.0	3.5	3.8	2.5	3.5
Eu	0.4	1.8	0.2	3.6	0.8	4.4	0.1	0.7	0.9	1.0	0.7	0.9	0.5	0.5
Gd	2.2	8.4	0.7	18.8	3.2	12.0	1.2	3.7	3.5	4.8	3.6	3.6	2.3	3.0
Tb	0.4	1.2	0.1	3.6	0.2	1.8	0.3	0.8	0.7	0.9	0.7	0.6	0.4	0.5
Dy	2.6	6.1	0.6	24.0	0.9	9.7	2.4	3.6	3.5	4.7	3.5	3.8	2.5	2.5
Ho	0.4	1.3	0.1	4.6	0.2	1.7	0.4	0.8	0.8	1.1	0.9	0.8	0.5	0.5
Er	1.2	3.6	0.3	14.2	0.7	5.0	1.6	2.0	2.1	2.9	2.2	2.0	1.3	1.2
Tm	0.2	0.5	0.0	1.9	0.1	0.6	0.3	0.3	0.4	0.5	0.4	0.3	0.2	0.2
Yb	0.9	3.5	0.3	12.5	0.8	3.8	2.1	1.8	2.0	2.6	1.9	1.9	1.3	1.2
Lu	0.1	0.5	0.0	1.7	0.1	0.5	0.3	0.3	0.3	0.5	0.3	0.3	0.2	0.2
Rb	201.0	161.0	3.5	6.4	7.8	20.3	215.0	137.0	80.2	108.0	70.4	95.7	74.7	118.0
Ba	99.0	756.0	28.9	33.6	50.3	53.0	36.1	234.0	262.0	284.0	206.0	292.0	204.0	200.0
Y	12.0	32.7	2.7	119.0	4.8	43.4	12.6	18.0	18.0	24.6	17.7	17.7	11.9	11.1
Sr	44.4	418.0	519.0	336.0	705.0	633.0	18.6	107.0	147.0	151.0	124.0	160.0	123.0	95.2
Na ₂ O	2.1	4.5	6.0	4.7	6.9	4.7	2.8	2.7	2.7	2.4	2.5	2.6	2.7	2.8
K ₂ O	6.9	3.6	0.2	0.3	0.3	0.3	6.1	4.2	2.5	2.8	2.6	2.4	2.5	3.2
SiO ₂	74.0	52.0	73.8	71.0	64.0	71.0	74.3	69.2	63.8	63.3	63.0	62.5	61.0	70.1
(Dy/Yb)n	1.8	1.1	1.3	1.3	0.7	1.6	0.8	1.3	1.2	1.2	1.2	1.3	1.2	1.4
(La/Yb)n	6.8	13.0	8.8	1.4	7.5	11.0	1.1	10.0	8.2	8.9	6.3	7.4	6.2	13.5
(La/Sm)n	3.0	5.0	3.7	1.0	1.5	3.3	2.0	4.2	3.9	4.3	3.2	3.4	3.1	4.1
Eu/Eu*	0.5	0.6	0.9	0.6	0.7	1.1	0.3	0.5	0.7	0.6	0.6	0.8	0.6	0.5
Sr/Y	3.7	12.8	192.0	2.8	147.0	14.6	1.5	5.9	8.2	6.1	7.0	9.0	10.3	8.6

ادامه جدول ۲. داده‌های عناصر نادر خاکی و اکسیدهای اصلی در گرانیت‌های زون سندج-سیرجان. علایم و منابع داده‌ها: الیگودرز (Esna-), بروجرد (Tahmasbi et al., 2007), آستانه (Aliani et al., 2012), کمال (Khalaji et al., 2007), آشیار (Ashari et al., 2012), رباط (Alirezaei and Hassanzadeh, 2012), گرانو دیوریت (Arvin et al., 2007), سیاه کوه (Siah kohe), کوارتز دیوریت (qz-di), گرانو گرانیت (gdr), مونزو گرانیت (mes), لوکو گرانیت (logr), لومونزو گرانیت (lumg), آلکالی گرانیت (alk-gr), گرانیت (grt).

Table 2 (Continued). Major and rare earth elements concentration (ppm) in granitoids of Sanandaj-Sirjan zone, Symbols and references: Aligodarz, (Esna-Ashari et al., 2012); Bourujerd, (Khalaji et al., 2007); Alvand, (Aliani et al., 2012); Astaneh, (Tahmasbi et al., 2010); Hasan robat, (Alirezaei and Hassanzadeh, 2012); Siah kohe, (Arvin et al., 2007). Abbreviations: qz-di: quartz diorite; gdr: granodiorite; gr: granite; mg: monzo granite; lugr: leucogranite; mes: mesocratic granitoid; lumg: leucomonzo granite; alk-gr: alkali granite

Sample no	Hasan robat						Siah kohe							
	HR-110	HR-115	HR-102	HR-11	HR-08A	HR-05	HR-03	MZ-26	MZ-15	MZ-12	MZ-8	MZ-32	MZ-6	MZ-2
Lithology	Biot-rich encl.	Biot-rich encl.	Gr	gr	gr	gr	gr	alk-gr	alk-gr	lumg	lumg	Lgdr	lugr	Lugdr
La	65.0	69.0	79.0	86.0	82.0	77.0	62.0	17.0	20.0	10.0	12.3	7.0	7.4	8.3
Ce	140.0	152.0	154.0	178.0	172.0	160.0	131.0	33.0	43.0	21.0	27.0	15.0	13.8	17.0
Pr	18.6	14.8	18.3	20.3	18.9	17.3	13.9	4.5	5.8	3.2	3.3	2.0	1.5	2.1
Nd	77.6	57.8	70.8	69.8	71.2	61.8	48.7	17.0	22.0	14.0	12.9	9.0	5.3	8.7
Sm	19.2	12.4	13.2	14.9	15.5	13.1	11.0	4.6	6.0	4.6	3.4	3.0	1.1	2.5
Eu	3.3	1.4	1.9	2.7	2.4	1.8	1.2	0.4	0.4	1.0	0.5	1.0	0.9	0.8
Gd	28.5	11.2	12.7	12.9	13.2	12.7	10.9	4.0	5.4	4.9	4.3	2.9	1.2	3.6
Tb	5.9	2.1	2.2	2.3	2.4	2.1	2.0	0.9	1.2	1.1	0.8	0.6	0.2	0.6
Dy	37.6	11.8	12.3	13.2	12.5	11.9	11.1	5.7	8.0	7.1	5.3	3.9	1.5	4.2
Ho	8.2	2.3	2.5	2.8	2.6	2.5	2.4	1.7	2.5	2.4	1.2	1.2	0.3	0.9
Er	21.1	7.4	7.2	8.1	7.5	7.3	7.5	4.9	6.8	5.9	3.9	3.2	1.1	2.6
Tm	2.7	1.1	1.1	1.2	1.2	1.1	1.1	1.1	1.4	1.2	0.6	0.6	0.2	0.5
Yb	14.8	7.1	6.6	7.3	6.9	7.0	7.3	5.5	7.3	5.5	4.4	3.0	1.1	2.6
Lu	2.2	1.2	1.0	1.1	1.1	1.1	1.1	0.9	1.2	0.8	0.6	0.5	0.2	0.4
Rb	294.0	235.0	218.0	166.0	196.0	182.0	222.0	22.0	62.0	30.0	32.0	10.0	15.0	20.0
Ba	782.0	718.0	850.0	1165.0	1117.0	1006.0	615.0	235.0	695.0	275.0	335.0	92.0	172.0	140.0
Y	148.0	69.0	74.0	82.0	75.0	73.0	74.0	35.0	52.0	49.0	58.0	26.0	13.8	29.0
Sr	75.0	53.0	66.0	112.0	97.0	66.0	44.0	35.0	35.0	167.0	53.0	80.0	211.0	211.0
Na ₂ O	3.1	3.8	3.7	3.7	3.5	3.8	3.5	4.0	5.0	4.4	4.2	4.0	4.0	3.6
K ₂ O	5.2	5.3	5.4	4.7	5.0	5.4	5.4	4.4	4.7	1.7	1.4	0.5	1.0	0.8
SiO ₂	65.1	73.1	71.7	68.2	69.4	71.1	73.6	76.0	77.5	72.3	76.5	69.4	72.1	70.1
(Dy/Yb)n	1.7	1.1	1.2	1.2	1.2	1.1	1.0	0.7	0.7	0.8	0.8	0.8	0.8	1.1
(La/Yb)n	3.0	6.6	8.1	8.0	8.0	7.4	5.7	1.5	1.5	1.0	1.7	1.3	3.1	1.9
(La/Sm)n	2.1	3.5	3.8	3.6	3.3	3.7	3.5	7.3	9.5	1.9	4.6	1.4	1.5	2.0
Eu/Eu*	0.4	0.4	0.4	0.6	0.5	0.4	0.3	0.3	0.2	0.6	0.4	1.0	2.2	0.8
Sr/Y	0.5	0.8	0.9	1.4	1.3	0.9	0.6	1.0	0.7	3.4	0.9	3.1	15.3	7.3



شکل ۳. نمودار Na_2O در برابر K_2O برای توده‌های نفوذی زون سندج-سیرجان و ارومیه-دختر (Chappell and White, 2001)

Fig. 3. K_2O vs. Na_2O diagram for intrusions of Sanandaj-Sirjan and Urumieh-Dokhtar zones (Chappell and White, 2001)

۴. نسبت‌های $\text{La}_{\text{n}}/\text{Yb}_{\text{n}}$ ($0.11, 0.31, 0.67$) و Sr/Y ($0.45, 0.52$) هر کدام به ترتیب دارای میانگین $1/7$ و $4/5$ هستند. سنگ‌های توده نفوذی هم دارای آنومالی منفی Eu و نسبت پایین $\text{Eu}_{\text{n}}/\text{Eu}^*$ ($=0.8$) هستند (شکل‌های ۴ و ۶). آنومالی منفی Eu می‌تواند نشان‌دهنده شکست پلاژیوکلاز از ماگما اولیه باشد (Richards et al., 2012).

زمین‌شیمی توده نفوذی الوند
بررسی‌های زمین‌شیمی بر روی کمپلکس نفوذی الوند (نفوذی‌های نوع I) نشان‌دهنده آن است که سنگ‌های این توده دارای آنومالی منفی Eu ($0.31, 0.41$) و نسبت $\text{Eu}_{\text{n}}/\text{Eu}^*$ (<1) هستند (شکل‌های ۴ و ۶). آنومالی Eu منفی احتمالاً در اثر تشکیل فلدسپار و تفریق پلاژیوکلاز در حین صعود ماگما به سمت سطح زمین صورت گرفته است (Aliani et al., 2012). علاوه‌بر این، بررسی الگوی REE نرمالیزه شده به

زمین‌شیمی عناصر نادر خاکی توده‌های زون سندج-سیرجان

زمین‌شیمی توده نفوذی بروجرد
الگوی عناصر نادر خاکی نرمالیزه شده توده نفوذی بروجرد دارای شبیه ملایم از LREE^۱ به سمت HREE^۲ است (شکل ۴). نسبت‌های $\text{La}_{\text{n}}/\text{Yb}_{\text{n}}$ ($0.46, 0.59$) و Sr/Y ($0.46, 0.59$) به ترتیب دارای میانگین $13/55$ و $14/65$ است. نسبت $\text{Eu}_{\text{n}}/\text{Eu}^*$ نیز کمتر از یک است و تمامی نمونه‌ها دارای آنومالی Eu ($0.06, 0.09$) منفی هستند (شکل ۴). ویژگی‌هایی از جمله آنومالی منفی Eu و کاهش میزان Sr نشان‌دهنده حاکم‌بودن تبلور پلاژیوکلاز در ماگما و ماگماتیسم‌های مرتبه با جزایر کمانی است (Zaravandi et al., 2007).

زمین‌شیمی توده نفوذی سیاه‌کوه
الگوی REE^۳‌های نرمالیزه شده به کندریت، غنی‌شدگی و شبیه ملایم به سمت HREE^۴‌ها را نشان می‌دهد (شکل

1. Light Rare Earth Elements
2. Heavy Rare Earth Elements
3. Rare earth element

کمترین میزان غنی‌شدگی در مذاب و یا نبود آمفیول در ماگماست (این ماگما بیشتر در عمق‌های ۳۰ تا ۳۵ کیلومتر است) (Castillo, 2012). الگوی REE نرمالیزشده به کندrit است (شکل ۴)، آنومالی منفی Eu^{*} (۰/۷، ۰/۴) و نسبت پایین تراز یک Eu_n/Eu^{*} را نشان می‌دهد (شکل‌های ۴ و ۶). این ویژگی در نتیجه تشکیل پلاژیوکلاز و واردشدن Eu به ساختمان پلاژیوکلاز رخ می‌دهد، بنابراین این فرایند سبب کاهش میزان Eu در ماگما می‌شود. آنومالی منفی Eu همچنین در سنگ‌های Zarasvandi et al., 2005; Shafiei et al., 2009; Richards et al., 2012) مرتبط با جزایر کمانی بهوفور دیده می‌شود (الگوی پراکندگی عناصر نادر خاکی در این توده نفوذی نشان از تهی شدگی عناصری همچون Nb, Sr, Ba, P و Ti نسبت به دیگر عناصر و غنی‌شدگی LILE در مقایسه با HFSE دارد. ویژگی‌های یادشده یانگر احتمال مشارکت رسوبات در چرخه ذوب و تشکیل گرانیتوئیدهاست (Tahmasbi et al., 2010).

زمین‌شیمی توده نفوذی حسن رباط

سنگ‌های گرانیتوئیدی توده حسن رباط نسبت‌های La_n/Yb_n (۰/۹، ۰/۵) و Y/Sr (۰/۱، ۰/۳) و میانگین به ترتیب ۶/۷ و ۰/۹ را داراست (جدول ۲). میزان پایین Sr و نسبت‌های Sr/Y<۰/۹ و La_n/Yb_n<۶/۷ نشان‌دهنده تبلور پلاژیوکلاز و میزان پایین آب ماگمایی است (Richards et al., 2012). چنان‌که در شکل ۴ دیده می‌شود، الگوی نرمالیزشده REE در توده نفوذی REE در حسن رباط شباخت بسیاری به الگوهای نرمالیزشده در دیگر توده‌های نفوذی زون سنتدج-سیرجان دارد. این توده‌ها همگی دارای غنی‌شدگی LREE و شیب ملایم به سمت HREE هستند. همچنین آنومالی منفی Eu^{*} (۰/۵، ۰/۳) و نسبت کمتر از یک Eu_n/Eu^{*}=۰/۴ در توده نفوذی حسن رباط همانند دیگر نسبت‌های Eu منفی در توده‌های نفوذی زون سنتدج-سیرجان، نشان‌دهنده تشکیل پلاژیوکلاز در مذاب‌های مرتبط با جزایر کمانی است (Shafiei et al., 2009; Richards et al., 2012).

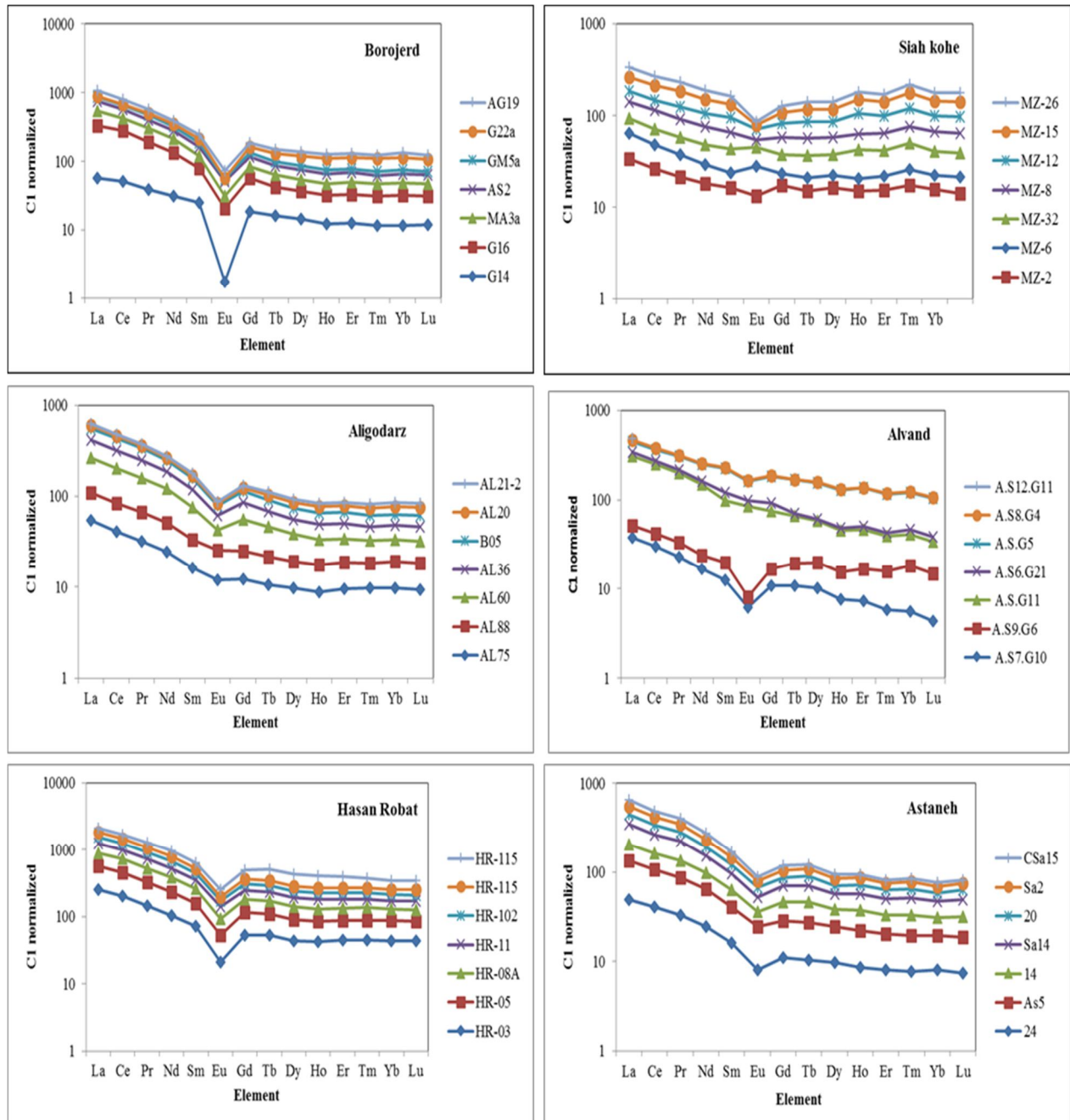
کندrit‌ها برای سنگ‌های نفوذی الوند دارای شیب ملایم از La_n/Yb_n LREE‌ها به سمت HREE است (شکل ۴). نسبت La_n/Yb_n در این توده نفوذی بین ۱/۱ و ۱۳/۰۳ و با میانگین ۷/۰۸ است. این نسبت پایین La_n/Yb_n در توده‌های نفوذی الوند نشان‌دهنده Richards et al., 2012) HREE به LREE است (.

زمین‌شیمی توده نفوذی الیکودرز

نمودار REE نرمالیزشده سنگ‌های توده نفوذی الیکودرز غنی‌شدگی La_n/Yb_n و شیب ملایم به سمت HREE را نشان می‌دهد. نسبت La_n/Yb_n (۰/۹، ۰/۹) و Y/Sr (۰/۲، ۰/۲) در سنگ‌های این توده نفوذی نیز به ترتیب دارای میانگین ۶/۹۲ و ۶/۰۳ است (جدول ۲). آنومالی منفی Eu^{*} (شکل ۴) در سنگ‌های این توده نفوذی و نسبت پایین تراز یک Eu_n/Eu^{*}=۰/۶ نشان‌دهنده تفریق پلاژیوکلاز از ماگمای اولیه است (Richards, 2011; Richards et al., 2012) (Richards, 2011; Richards et al., 2012). نسبت پایین La_n/Sm_n (۰/۸ و ۰/۳) و Dy_n/Yb_n (۰/۳ و ۰/۳) در توده نفوذی الیکودرز نیز یانگر غنی‌شدگی کم LREE و غالب بودن تهشینی اغلب پلاژیوکلاز در کمان‌های جزیره‌ای با ضخامت بین ۳۰ تا ۳۵ کیلومتر است (Shafiei et al., 2008; Richards et al., 2012) (Shafiei et al., 2008; Richards et al., 2012). بررسی‌های عناصر کمیاب و ترکیبات ایزوتوپی Sr-Nd نشان می‌دهد که این توده گرانیتوئیدی مربوط به کمان قاره‌ای و از نوع گرانیتوئیدهای نوع I است (شکل ۲).

زمین‌شیمی توده نفوذی آستانه

نسبت‌های La_n/Yb_n (۰/۲، ۰/۳) و Y/Sr (۰/۳، ۰/۹) در سنگ‌های گرانیتوئیدی آستانه به ترتیب دارای میانگین ۸/۶۳ و La_n/Yb_n<۸/۶۳ و ۷/۸ است (جدول ۲). این نسبت پایین Sr/Y<۷/۸ نشان‌دهنده نبود غنی‌شدگی HREE, LREE و Castillo, 2012) (Castillo, 2012). پایین بودن نسبت La_n/Sm_n (۰/۰، ۰/۳) و Dy_n/Yb_n (۰/۱، ۰/۳) در توده نفوذی آستانه بیانگر



شکل ۴. الگوی نرمالیزشده REE‌ها برای توده‌های نفوذی زون ساختاری سنندج-سیرجان

Fig. 4. Chondrite-normalized rare earth element pattern for intrusions of Sanandaj-Sirjan zone

پرکام دارای شبیه تند از HREE‌ها به سمت LREE است (شکل ۵). همچنین بررسی‌ها نشان می‌دهد که نمونه‌های مرتبط با کانسار پورفیری نسبت‌های بالا La_n/Yb_n (۲۵/۲۲، ۲۵/۲۶، ۱۷/۷۶) و Sr/Y (۱۱۵/۲، ۲۱) را دارا هستند. چنان‌که در شکل ۶ دیده

زمین‌شیمی عناصر نادر خاکی توده‌های زون ارومیه-دختر

زمین‌شیمی توده نفوذی کانسار مس پورفیری پرکام نمودار REE نرمالیزشده به کندریت‌ها در توده نفوذی کانسار

سنگ‌های نفوذی کانسار با میانگین $23/59$ است (جدول ۳). طبق پژوهش‌های ریچارد و کریش (Richards and Kerrich, 2007)، نسبت بالای $\text{La}_{\text{n}}/\text{Yb}_{\text{n}}$ و غنی شدگی LREE نسبت به HREE می‌تواند نشان‌دهنده سنگ‌های شبه آداتیتی با درصدی از گارنت در منشأ سنگ باشد. آنومالی تقریباً مثبت $\text{Eu}^{*} \approx 1/0.9$ در سنگ‌های نفوذی مرتبط با کانه‌زایی مس در این کانسار بیانگر نبود تفریق پلازیوکلاز از ماگمای اولیه است. الگوی REE نیز دارای شبیه تندی از HREE (Sm, Gd, Tb, Dy, Ho and Er) MREE به سمت (Tm, Yb, Lu) است. در توصیف این ویژگی می‌توان گفت، تفریق هورنبلنده، تیتان در مقابل گارنت‌ها اتفاق افتاده است (Richards et al., 2012).

زمین‌شیمی توده نفوذی کانسار مس پورفیری سونگون
الگوی نرم‌الیزشده REE در سنگ‌های گرانیتوئیدی مرتبط با کانه‌زایی در کانسار مس سنگون بسیار شبیه REE نرم‌الیزشده توده نفوذی مرتبط با کانه‌زایی مس پورفیری همچون کانسار مس پورفیری سرچشمه است. سنگ‌های توده نفوذی مرتبط با کانه‌زایی در کانسار سونگون دارای غنی شدگی LREE و تھی شدگی HREE است (شکل ۵). نسبت $\text{La}_{\text{n}}/\text{Yb}_{\text{n}}$ ($14/23$) و Sr/Y ($56/3$) به ترتیب دارای میانگین $41/8$ و $13/82$ است (جدول ۳). نسبت بالای $\text{La}_{\text{n}}/\text{Yb}_{\text{n}}$ و Sr/Y نشان‌دهنده وجود کانی‌های هورنبلنده، گارنت و کلینوپیروکسن در منع ماگمایی و غنی شدگی نسبت LREE/HREE است (Castillo, 2012). سنگ‌های توده نفوذی کانسار همچنین دارای آنومالی مثبت $\text{Eu}^{*} = 0/0.93$ و نسبت $\text{Eu}^{*} = 1/0.7$ هستند. (شکل‌های ۵ و ۶). باید اذعان داشت، نبود آنومالی منفی Eu می‌تواند نشان‌دهنده نبود تفریق پلازیوکلاز از ماگمای اولیه، توقف شکست پلازیوکلاز ناشی از محتوای بالای آب ماگمایی و حالت اکسیداسیون بالای ماگما باشد (زمانی که مثبت است) (Richards et al., 2012).

می‌شود، نمونه‌های مرتبط با توده نفوذی کانسار دارای آنومالی $\text{Eu}^{*} = 1/0.1$ و میانگین $1/0.2$ است. این ویژگی‌ها گواه این مطلب است که سنگ‌های آداتیتی با درصدی از گارنت در منشأ سنگ بیانگر وجود تفریق ماگمایی Richards and Kerrich, 2007; Tiepolo et al., 2011 می‌توان اظهار داشت که این ویژگی مربوط به تفریق گارنت در ماگمای موجود در عمق‌های زیاد پوسته در حدود 45 تا 60 کیلومتری است (Macpherson et al., 2006).

زمین‌شیمی توده نفوذی کانسارهای پورفیری دره زرشک و علی‌آباد

نسبت‌های Sr/Y ($4/68$) و $\text{La}_{\text{n}}/\text{Yb}_{\text{n}}$ ($62/2$) در توده نفوذی مرتبط با کانسار به ترتیب دارای میانگین $29/13$ و $16/6$ است (جدول ۳). میزان بالای Sr و نسبت‌های $\text{La}_{\text{n}}/\text{Yb}_{\text{n}}$ در توده نفوذی این کانسار نشان‌دهنده توقف تبلور پلازیوکلاز و افزایش میزان آب ماگمات است (Richards et al., 2012). الگوی نرم‌الیزشده به کندریت مربوط به عناصر نادر خاکی (شکل ۵) دارای آنومالی $\text{Eu}^{*} = 1/0.2$ است (جدول ۳). این ویژگی ابانتگی بسیار زیاد پلازیوکلاز و تفریق هورنبلنده و یا Lang and Titley, 1998; Zarasvandi et al., 2005; Richards et al., 2012 حالات اکسیداسیون ماگماتیسم را نشان می‌دهد (Zarasvandi et al.). ویژگی‌های یادشده اعم از میزان بالای Sr و آنومالی مثبت Eu در سنگ‌های توده نفوذی مرتبط با کانسار مس دره زرشک و علی‌آباد نشان‌دهنده منشأ گرفتن ماگمای مرطبه با کانه‌زایی از ذوب جزئی قسمت‌های بالای گوشته و آلدگی توسط پوسته است (Zarasvandi et al., 2005).

زمین‌شیمی توده نفوذی کانسار مس پورفیری سرچشمه
توده نفوذی گرانو-دیوریتی مرتبط با کانه‌زایی مس در کانسار سرچشمه دارای الگوی غنی شدگی در LREE نسبت به HREE است (شکل ۵). نسبت $\text{La}_{\text{n}}/\text{Yb}_{\text{n}}$ ($34/2$) در

جدول ۳. داده‌های عناصر نادر خاکی و اکسیدهای اصلی در گرانیت‌تیویدهای زون ارومیه-دختر، عالیم و منابع داده‌ها: دالی (Daneshjou, 2014) دره زرشک و علی‌آباد (Zaravandi et al., 2005)، پرکام (Taghipour and Mohammadi Laghab, 2014)، سرچشمeh (Barzegar, 2007)، میدوک (Taghipour, 2007)، سنگون (Hezarkhani, 2006)، گرانیت، gr: آلکالی گرانیت، di: دیوریت، di: دیوریت، qz-di: کوارتز دیوریت، monz: مونزونیت، gdr: گرانو-دیوریت

Table 3. Major and rare earth elements concentration (ppm) in granitoieds of Urumieh – Dokhtar zone, Symbols and references: Dalli (Daneshjou, 2014); Ali-Abad and Darreh-Zerreshk (Zaravandi et al., 2005); Parkam (Taghipour and Mohammadi Laghab, 2014); Sarcheshmeh (Barzegar, 2007); Meiduk (Taghipour, 2007); Sungun (Hezarkhani, 2006); Abbreviations: gr: granite; alk-gr: alkali granite; di: diorite; qz-di: quartz diorite; monz: monzonit; gdr: granodiorite

Sample no Lithology	Dalli							Parkam						
	DS20 DS8	DS18 DS7	DS16 DN9	DS4 DN12	DS1 DN10	DN9 DN4	DN8 DN1	P-4 q.d	P-3 q.d	P-1 q.d	P-13 Dio	P-15 dio	P-8 dio	P-2 Dio
La	7.4	19.1	31.6	47.6	11.9	38.0	25.0	28.4	28.6	30. 7	29.5	29.9	26.5	25.0
Ce	13.7	32.0	63.1	94.0	22.8	70.0	53.8	53.0	55.1	57. 9	56.3	58.3	49.4	48.2
Pr	1.4	3.3	6.8	9.9	2.5	7.1	6.0	5.5	5.9	6.2	6.0	6.2	5.1	5.2
Nd	5.3	13.2	26.6	37.0	9.9	26.0	24.3	17.7	19.6	19. 6	19.5	19.9	16.7	17.3
Sm	1.0	2.9	4.7	6.3	2.0	4.4	5.0	2.8	3.4	3.4	3.3	3.5	2.9	3.1
Eu	0.3	0.9	1.2	1.6	0.5	1.2	1.2	1.0	1.2	1.1	1.1	1.1	1.0	1.0
Gd	0.7	2.6	3.3	4.8	1.9	3.6	4.3	3.1	3.5	3.4	3.4	3.7	3.1	3.1
Tb	0.1	0.4	0.4	0.6	0.3	0.5	0.6	0.4	0.4	0.4	0.4	0.5	0.4	0.4
Dy	0.6	2.8	2.8	3.5	1.7	3.3	4.0	1.6	2.1	1.9	1.9	2.1	1.9	1.8
Ho	0.1	0.5	0.6	0.7	0.4	0.6	0.8	0.3	0.4	0.4	0.4	0.4	0.4	0.3
Er	0.4	1.6	1.5	1.8	1.0	1.8	2.3	0.9	1.1	1.0	1.0	1.1	1.0	1.0
Tm	0.1	0.2	0.2	0.3	0.2	0.3	0.4	0.1	0.1	0.1	0.1	0.1	0.1	0.1
Yb	0.4	1.7	1.6	1.8	1.1	1.9	2.4	0.8	0.9	0.9	0.9	1.0	0.8	0.8
Lu	0.1	0.3	0.2	0.3	0.2	0.3	0.3	0.1	0.1	0.1	0.1	0.2	0.1	0.1
Rb	7.67 5	81.1	79.0 7	85.3	27.3	65.6	69.4	86.8	56.1	65. 6	70.1	62.8	82.1	81.1
Ba	104. 8	945	856	1119	431. 3	768. 4	888	776. 0	786. 0	718. .0	904.0	716.0	348. 0	814.0
Y	3.42 1	15.4 1	14.1 3	17.8 2	9.33	17.5 7	22.6 6	8.6	10.1	9.7	9.9	10.7	9.5	9.2
Sr	128	674	616. 6	477. 4	136. 7	534. 2	482	990. 0	860. 0	795. .0	958.0	870.0	199. 5	748.0
Na ₂ O	3.99	3.19	2.94	3.06	2.04	3.24	2.95	3.4	4.4	3.7	4.2	4.0	3.2	4.0
K ₂ O	1.15	2.71	2	1.8	3.29	1.87	1.94	3.8	2.3	2.7	2.9	2.5	2.8	3.0
SiO ₂	54.0 4	59.8 1	52.5 9	52.9 3	70.0 2	55.9 2	53.5 4	60.5	61.8	62. 4	60.7	61.8	59.4	59.6
(Dy/Yb)n	0.9	1.0	1.1	1.3	1.1	1.1	1.1	1.4	1.4	1.4	1.3	1.4	1.5	1.4
(La/Yb)n	11.6	7.4	13.5	18.1	7.6	13.3	7.2	25.0	20.3	23. 1	21.0	21.0	21.9	19.9
(La/Sm)n	4.9	4.2	4.2	4.8	3.7	5.4	3.2	6.4	5.2	5.8	5.6	5.4	5.7	5.2
Eu/Eu*	1.1	1.0	1.0	0.9	0.8	0.9	0.8	1.0	1.1	1.1	1.1	1.2	1.0	1.0
Sr/Y	37.4	43.7	43.6	26.8	14.7	30.4	21.3	115. 1	85.1	82. 0	96.8	81.3	21.0	81.3

داده جدول ۳. داده‌های عناصر نادر خاکی و اکسیدهای اصلی در گرانیت‌وئیدهای زون ارومیه-دختر، عالیم و منابع داده‌ها: دالی (Daneshjou, 2014) دره زرشک و علی‌آباد (Zarasvandi et al., 2005)، پرکام (Taghipour and Mohammadi Laghab, 2014)، سرچشمeh (Barzegar, 2007)، میدوک (Hezarkhani, 2006)، سنگون (Taghipour, 2007)، آنکالی‌گرانیت، di: دیوریت، alk-gr: آنکالی‌گرانیت، qz-di: کوارتز دیوریت، monz: مونزونیت، gdr: گرانودیوریت

Table 3 (Continued). Major and rare earth elements concentration (ppm) in granitooids of Urumieh – Dokhtar zone, Symbols and references: Dalli (Daneshjou, 2014); Ali-Abad and Darreh-Zerreshk (Zarasvandi et al., 2005); Parkam (Taghipour and Mohammadi Laghab, 2014); Sarcheshmeh (Barzegar, 2007); Meiduk (Taghipour, 2007); Sungun (Hezarkhani, 2006); Abbreviations: gr: granite; alk-gr: alkali granite; di: diorite; qz-di: quartz diorite; monz: monzonit; gdr: granodiorite

Dareeh Zereshk and Ali abad					
Sample no	DZ-38	DH-8	AY-2	AY- 1	MN34-1
Lithology	gr	alk-gr	alk-gr	alk-gr	gr
La	14.3	16.5	12.3	6.7	11.0
Ce	24.8	34.2	26.4	14.3	19.4
Pr	2.9	5.1	3.5	2.1	2.3
Nd	10.7	19.1	14.4	8.9	8.5
Sm	1.9	5.1	3.3	2.1	1.6
Eu	0.7	0.6	0.3	0.5	0.6
Gd	0.9	3.2	1.6	1.0	0.8
Tb	0.2	0.8	0.3	0.2	0.1
Dy	0.8	3.6	1.2	0.7	0.6
Ho	0.2	0.8	0.2	0.2	0.1
Er	0.5	2.1	0.6	0.4	0.4
Tm	0.1	0.3	0.1	0.0	0.1
Yb	0.5	1.6	0.4	0.3	0.4
Lu	0.1	0.2	0.1	0.0	0.1
Rb	47.0	161.0	59.0	51.0	59.0
Ba	908.0	295.0	213.0	145.0	1023.0
Y	12.0	38.0	19.0	15.0	12.0
Sr	746.0	696.0	89.0	144.0	611.0
Na ₂ O	2.9	2.7	3.9	4.3	1.7
K ₂ O	3.4	4.7	2.0	1.5	3.6
SiO ₂	71.6	74.8	76.2	76.7	74.8
(Dy/Yb)n	1.0	1.5	1.8	1.7	1.0
(La/Yb)n	19.3	7.1	19.8	17.4	19.5
(La/Sm)n	4.8	2.1	2.4	2.0	4.3
Eu/Eu*	1.6	0.4	0.4	1.0	1.7
Sr/Y	62.2	18.3	4.7	9.6	50.9

ادامه جدول ۳. داده‌های عناصر نادر خاکی و اکسیدهای اصلی در گرانیت‌وئیدهای زون ارومیه-دختر، علایم و منابع داده‌ها: دالی (Daneshjou, 2014) دره زرشک و علی‌آباد (Zarasvandi et al., 2005)، پرکام (Taghipour and Mohammadi Laghab, 2014)، سرچشمeh (Barzegar, 2007)، میدوک (Hezarkhani, 2006)، سنگون (Taghipour, 2007)، سنگون (Hezarkhani, 2006)، میدوک (Taghipour, 2007)، آلکالی گرانیت، alk-gr: دیوریت، di: دیوریت، qz-di: کوارتز دیوریت، monz: مونزونیت، gdr: گرانوپوریت

Table 3 (Continued). Major and rare earth elements concentration (ppm) in granitooids of Urumieh – Dokhtar zone, Symbols and references: Dalli (Daneshjou, 2014); Ali-Abad and Darreh-Zerreshk (Zarasvandi et al., 2005); Parkam (Taghipour and Mohammadi Laghab, 2014); Sarcheshmeh (Barzegar, 2007); Meiduk (Taghipour, 2007); Sungun (Hezarkhani, 2006); Abbreviations: gr: granite; alk-gr: alkali granite; di: diorite; qz-di: quartz diorite; monz: monzonit; gdr: granodiorite

Saeecheshmeh										
Sample no	SA1	SA9	SA8	SA7	SA6	SA4	SA12b	SA12a	SA11	SA10
Lithology	Monz	grd								
La	28.3	27.2	30.9	35.5	40.4	23.9	26.2	25.5	26.3	36.5
Ce	52.8	50.9	55.6	55.0	75.9	50.8	bd	46.4	bd	60.6
Pr	na	na	5.6	4.4	8.4	6.0	na	4.9	na	Na
Nd	na	na	20.0	14.1	31.9	21.8	na	17.0	na	Na
Sm	na	na	3.4	2.1	7.1	3.5	na	2.7	na	Na
Eu	na	na	0.9	0.6	2.2	0.9	na	0.7	na	Na
Gd	na	na	3.1	2.3	7.6	3.1	na	2.5	na	Na
Tb	na	na	0.4	0.2	1.2	0.3	na	0.3	na	Na
Dy	na	na	1.7	1.4	6.8	1.4	na	1.4	na	Na
Ho	na	na	0.3	0.2	1.2	0.2	na	0.2	na	Na
Er	na	na	0.9	0.8	3.3	0.7	na	0.8	na	Na
Tm	na									
Yb	na	na	0.9	0.7	3.0	0.6	na	0.7	na	Na
Lu	na									
Rb	110.6	142.2	82.2	105.4	65.8	85.1	143.2	93.0	125.7	160.4
Ba	544.0	513.1	294.7	294.0	745.0	785.0	895.7	836.0	190.8	550.9
Y	bd	bd	9.8	8.0	66.6	8.9	bd	8.2	32.7	bd
Sr	198.5	45.0	493.1	46.5	572.4	583.5	300.5	556.5	182.7	363.7
Na ₂ O	1.8	0.1	4.8	0.1	4.3	4.2	3.2	4.3	2.4	0.2
K ₂ O	4.5	5.6	2.0	3.6	2.5	2.9	4.1	3.1	2.3	4.3
SiO ₂	71.4	61.6	63.2	74.3	63.6	62.6	66.6	65.7	59.0	60.5
(Dy/Yb)n	1.5	na	1.3	1.2	1.3	1.5	Na	na	na	na
(La/Yb)n	26.9	na	24.6	23.2	34.2	9.1	Na	na	na	na
(La/Sm)n	4.3	na	5.9	5.7	10.6	3.6	Na	na	na	na
Eu/Eu*		na	0.8	0.8	0.9	0.8	0.8	na	Na	na
Sr/Y	bd	bd	50.3	5.8	8.6	65.6	Bd	67.9	5.6	bd

ادامه جدول ۳. داده‌های عناصر نادر خاکی و اکسیدهای اصلی در گرانیت‌وئیدهای زون ارومیه- دختر، علایم و منابع داده‌ها: دالی (Daneshjou, 2014) دره زرشک و علی‌آباد (Zarasvandi et al., 2005), پرکام (Taghipour and Mohammadi Laghab, 2014), سرچشمeh (Barzegar, 2007)، میدوک (Taghipour, 2007)، سنتگون (Hezarkhani, 2006)، علایم اختصاری: gr: گرانیت، alk-gr: آلکالی گرانیت، di: دیوریت، qz-di: کوارتز دیوریت، monz: مونزونیت، gdr: گرانودیوریت

Table 3 (Continued). Major and rare earth elements concentration (ppm) in granitoieds of Urumieh – Dokhtar zone, Symbols and references: Dalli (Daneshjou, 2014); Ali-Abad and Darreh-Zerreshk (Zarasvandi et al., 2005); Parkam (Taghipour and Mohammadi Laghab, 2014); Sarcheshmeh (Barzegar, 2007); Meiduk (Taghipour, 2007); Sungun (Hezarkhani, 2006); Abbreviations: gr: granite; alk-gr: alkali granite; di: diorite; qz-di: quartz diorite; monz: monzonit; gdr: granodiorite

Sample no	Miduk					Sungun					
	MG9-1	MG9-6	MP-3	MP-2	MP-1	34-163	44-409	21-32	30-168	33-281	25-522
Lithology	qd	qd	qd	qd	qd	gdr	gdr	gdr	gdr	gdr	gdr
La	20.5	12.0	27.2	30.4	29.9	64.5	27.4	139.0	40.2	51.0	46.7
Ce	38.8	25.2	50.3	54.6	52.9	106.0	50.0	228.0	67.2	81.0	76.6
Pr	4.1	2.8	5.4	6.1	5.6	na	na	Na	na	na	Na
Nd	16.4	11.2	18.5	21.6	20.0	34.0	23.0	72.0	23.8	25.4	24.9
Sm	3.4	2.0	3.2	3.2	2.9	4.4	3.1	9.3	3.8	3.5	3.6
Eu	1.1	0.5	0.7	1.0	0.9	1.2	1.0	2.2	1.0	0.9	0.9
Gd	3.1	1.5	2.5	2.2	2.1	1.9	1.7	4.4	2.8	2.5	2.4
Tb	0.5	0.2	0.4	0.3	0.3	0.3	0.3	0.6	0.4	0.3	0.3
Dy	2.4	1.0	2.3	1.4	1.4	1.6	1.6	3.1	2.1	1.7	1.6
Ho	0.4	0.1	0.5	0.3	0.2	na	na	Na	na	na	Na
Er	1.2	0.5	1.3	0.6	0.7	na	na	Na	na	na	Na
Tm	1.1	0.0	0.2	0.1	0.1	na	na	Na	na	na	Na
Yb	1.0	0.5	1.1	0.7	0.6	0.9	1.3	1.0	1.2	0.9	0.9
Lu	0.1	0.1	0.2	0.1	0.1	0.1	0.2	0.1	0.3	0.2	0.1
Rb	85.1	0.1	121.0	95.0	140.0	61.0	81.0	118.0	98.0	111.0	98.0
Ba	408.0	1.0	804.0	873.0	836.0	667.0	558.0	2044.0	175.0	1105.0	1203.0
Y	5.0	0.1	14.2	7.1	7.1	15.0	15.0	18.0	16.0	13.0	13.0
Sr	158.0	0.5	792.0	828.0	916.0	296.0	326.0	418.0	283.0	292.0	732.0
Na ₂ O	1.6	1.8	4.6	4.8	6.3	4.6	3.4	1.7	1.0	1.1	3.5
K ₂ O	6.7	5.8	3.4	1.7	1.8	4.5	2.9	6.3	3.8	4.0	3.9
SiO ₂	66.2	56.9	69.7	63.8	64.5	63.3	59.1	57.8	61.9	57.3	62.0
(Dy/Yb)n	1.5	1.4	1.3	1.4	1.4	1.2	0.8	2.0	1.1	1.2	1.2
(La/Yb)n	13.3	18.0	16.3	30.2	32.1	48.4	14.2	93.8	22.6	38.2	35.0
(La/Sm)n	3.8	3.7	5.3	5.9	6.5	9.2	5.6	9.4	6.7	9.2	8.2
Eu/Eu*	1.0	0.8	0.8	1.1	1.1	1.3	1.3	1.1	0.9	0.9	0.9
Sr/Y	31.6	5.0	55.8	116.6	129.0	19.7	21.7	23.2	17.7	22.5	56.3

زمین‌شناسان بوده است. یکی از ویژگی‌های این مناطق و دیگر مناطق فروزانش همراهی توده‌های بارور، نیمه بارور و عقیم با هم است که می‌توان با بررسی‌های زمین‌شیمی و سنجک‌شناسی این توده‌ها را از یکدیگر تفکیک کرد و به اکتشاف کمک شایانی کرد. هدف از این پژوهش مقایسه گرانیت‌وئیدهای زون سنتدج-سیرجان با زون ارومیه-دختر بر اساس عناصر نادر خاکی و سنجک‌شناسی است و اینکه چرا توده‌های نفوذی گرانیت‌وئیدی زون سنتدج-سیرجان بدون کانه‌زایی هستند؛ در حالی که تعداد زیادی از گرانیت‌وئیدهای زون ارومیه-دختر همراه با کانه‌زایی مس پورفیری هستند. تاکنون بررسی‌های زیادی در مورد علل اینکه چرا بعضی از توده‌ها بارور و بعضی دیگر نابارور هستند، انجام شده است؛ از جمله این پژوهش‌ها می‌توان به سیلیتو (Sillitoe, 1972)، بالدوین و پیرس Asadi (Baldwin and Pearce, 1982) Shafiei and et al., 2014، شفیعی و شهاب‌پور (Shafiei, 2012)، شفیعی (Shahabpour, 2008 و Richards et al., 2012) و زراسوندی و همکاران (Richards et al., 2015) Zarasvandi et al., 2015) اشاره کرد. رفتار و تمرکز عناصر REE در سنجک‌های آذرین، اطلاعاتی را از ترکیب شیمیایی منشأ سنجک‌ها و تغییرات نواحی منشأ ذوب و یا ذوب باقی‌مانده (همانند تفریق کانی‌ها) در اختیار ما قرار می‌دهد. عناصر نادر خاکی شامل La و عدد اتمی ۵۷ تا ۷۱ هستند. شاعع یونی این عناصر با افزایش عدد اتمی از La^{+3} به Lu^{+3} کاهش می‌یابد. عناصر (Sm, Nd, Pr, Ce, La, Eu) به عنوان عناصر نادر خاکی سبک و عناصر (Yb, Lu, Tm, Er, Y, Ho, Dy, Tb, Gd) به عنوان عناصر نادر خاکی جزو عناصر با کمترین قابلیت انحلال هستند و در طول فرایندهای هوازدگی، دگرگونی درجه پایین و دگرسانی گرمابی نسبتاً غیرمتخرک هستند. از این‌رو تحرک بسیار کم این عناصر در محیط‌های زمین‌شناسی، کاربرد فراوانی را برای آنها در تعیین منشأ کانسارهای آذرین، دگرگونی، رسوبی و پتروژئنر رقم‌زده است (Bissig et al., 2003).

زمین‌شیمی توده نفوذی کانسار مس پورفیری میدوک
نمونه سنجک‌های توده نفوذی مرتبط با کانه‌زایی در کانسار مس HREE میدوک دارای غنی‌شدگی LREE و شبیه تند به سمت است (شکل ۵). نسبت‌های $\text{La}_{\text{n}}/\text{Yb}_{\text{n}}$ (۱۳/۳ تا ۳۲/۱) و Sr/Y (۵، ۱۲۹/۰۱) به ترتیب دارای میانگین ۲۱/۹ و ۶۷/۶ است و نسبت $\text{Dy}_{\text{n}}/\text{Yb}_{\text{n}}$ نیز از ۱/۳ تا ۱/۵ با میانگین ۱/۴ متغیر است. این نسبت‌ها نشان‌دهنده تشکیل سنجک‌های شبه آداداکیتی مرتبط با کانسارهای پورفیری و ماجماهی والد حاصل از ذوب ورقه‌های Sajona and Maury, 1998; Sun et al., 2011). همچنین آنومالی مثبت $\text{Eu}_{\text{n}}/\text{Eu}^*$ در توده نفوذی کانسار می‌تواند نشان‌دهنده انباستگی Green and (Perason, 1985

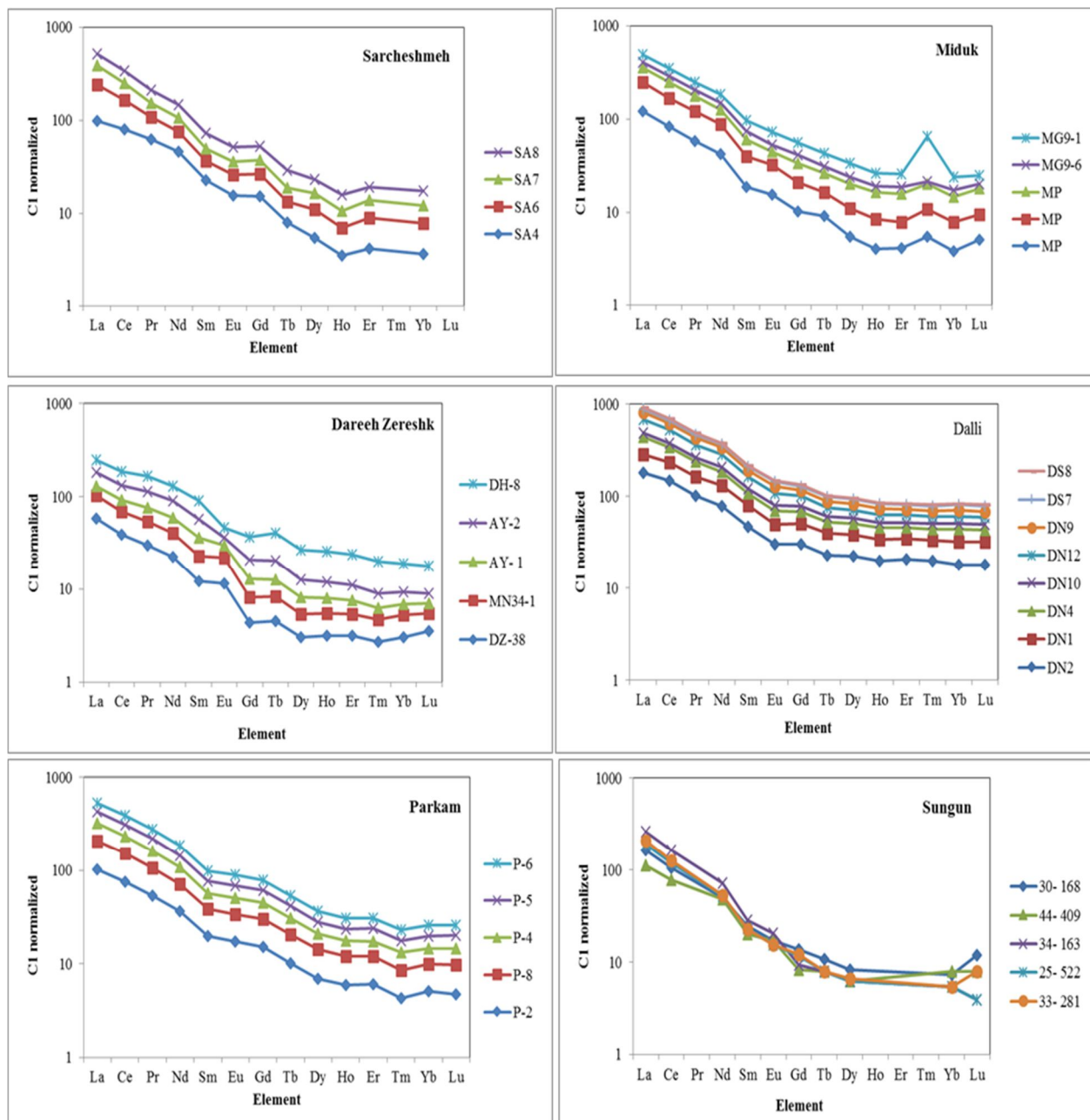
زمین‌شیمی توده نفوذی کانسار مس پورفیری دالی
بررسی الگوی REE نرمالیزشده به کندریت در توده نفوذی مرتبط با کانسار مس دالی نشان می‌دهد که LREE نسبت به MREE^۱ و HREE دارای غنی‌شدگی است (شکل ۵). نسبت $\text{La}_{\text{n}}/\text{Yb}_{\text{n}}$ (۱۸/۱، ۷/۶) با میانگین ۱۱/۰۹ و Sr/Y (۴۳/۷ ۱۴/۶) با میانگین ۲۹/۸ است. میزان بالای نسبت‌های $\text{La}_{\text{n}}/\text{Yb}_{\text{n}}$ و Sr/Y نشان‌دهنده وجود کانی‌های هورنبلند و گارنت در منبع ماجماهی است (Castillo, 2012). ضمن اینکه نسبت بالای $\text{La}_{\text{n}}/\text{Sm}_{\text{n}}$ (۳/۱، ۵/۴) با میانگین ۴/۲ نشان‌دهنده غنی‌شدگی Richards and Kerrich, 2009 LREE و هضم پوسته است (Shafiei et al., 2009). آنومالی ضعیف $\text{Eu}_{\text{n}}/\text{Eu}^*$ (۰/۷، ۰/۹) و نسبت $\text{Eu}_{\text{n}}/\text{Eu}^*=۰/۹$ ییانگر توقف تشکیل پلازیوکلاز، محتوای بالای آب ماجماهی و حالت اکسیداسیون بالای ماجماست (Richards et al., 2012).

بحث

محیط‌های آشفشانی-پلوتونیکی مرتبط با فرایندهای فروزانش عمولاً به علت همراهی با ذخایر معدنی با ارزش همچون پورفیری‌ها از چند دهه پیش تاکنون مورد توجه بسیاری از

زمین‌شیمی می‌توان به آنمالی Eu، تغییرات نسبت‌های LREE/HREE، La_n/Sm_n ، Dy_n/Yb_n ، Sr/Y ، La_n/Yb_n ، Richards, 2011؛ و تغییرات میزان SiO_2 و Sm/Yb اشاره کرد (Richards et al., 2012; Asadi et al., 2014).

زمین‌شیمی ای عنصر نادر خاکی و عنصر اصلی نشان می‌دهد که توده‌های گرانیتوئیدی همراه با کانه‌زایی مس پورفیری با توده‌های گرانیتوئیدی بدون کانه‌زایی دارای تمایزهای در عناصر REE و عنصر اصلی هستند. از جمله این تمایزهای



شکل ۵. الگوی نرمالیزه شده REE‌ها برای توده‌های نفوذی زون ساختاری ارومیه-دختر

Fig. 5. Chondrite-normalized rare earth element pattern for intrusions of Urumieh-Dokhter zone

دختر به دلیل تشکیل هورنبلند و میزان آب مانع‌گماشی بالا، کانه‌زایی مس پورفیری بیشتر رخ می‌دهد (همانند کانسارهای پورفیری سرچشممه، میدوک، دالی، دره زرشک علی‌آباد، سونگون و پرکام)؛ در حالی که تمام توده‌های نفوذی زون سنتدج-سیرجان به سبب تشکیل پلاژیوکلاز دارای میزان پایین آب مانع‌گماشی و بدون کانه‌زایی پورفیری هستند.

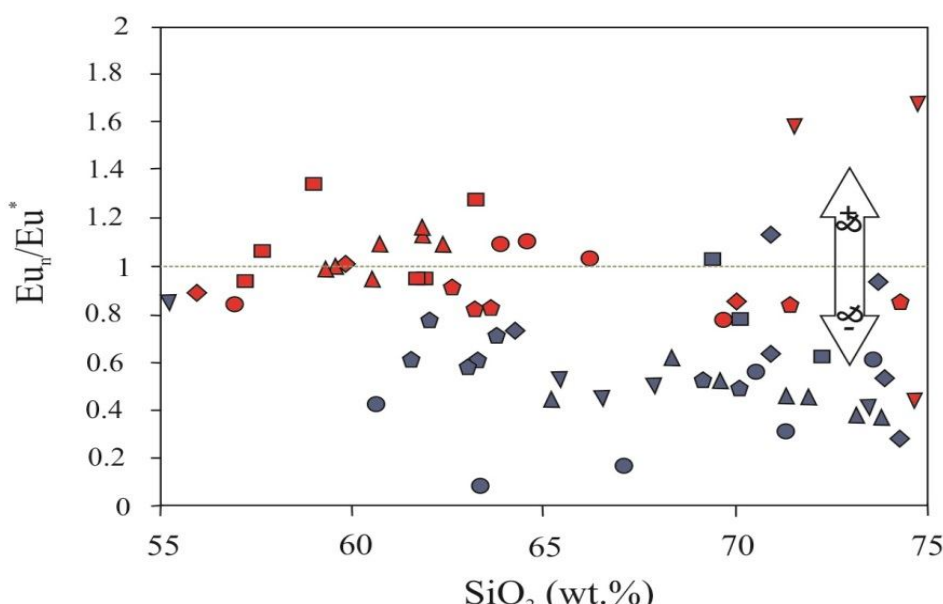
مقایسه نسبت‌های $\text{La}_{\text{n}}/\text{Yb}$ و Sr/Y در دو زون ساختاری ارومیه-دختر و سنتدج-سیرجان می‌تواند نشانگر کانه‌دار بودن و نبودن توده‌های نفوذی در دو زون ساختاری باشد. بر اساس پژوهش‌های پیشین، نسبت‌های بالای $\text{La}_{\text{n}}/\text{Yb}$ و Sr/Y مختص محیط‌های فروزانش لیتوسفر اقیانوسی به زیر پوسته قاره‌ای و ذوب‌بخشی لیتوسفر اقیانوسی آبدار است. از این‌رو اغلب از این دو نسبت، برای نشان‌دادن حضور سنگ‌های شبه آدامیتی استفاده می‌کنند. سنگ‌های آدامیت در واقع سنگ‌هایی با ترکیب $(\text{SiO}_2) < 50\%$ ، $\text{Sr} > 400 \text{ ppm}$ و $\text{Y} < 18 \text{ ppm}$ کمتر از $1/9$ ppm است که در اثر فروزانش و ذوب پوسته Rapp (and Watson, 1995) استفاده کرد. سنگ‌های شبه آدامیتی بهترین مثال برای سنگ‌های مرتبط با توده‌های نفوذی کانه‌دار پورفیری هستند. از جمله عواملی که باعث افزایش میزان Sr و La در سنگ‌های شبه آدامیتی می‌شود، عدم تشکیل پلاژیوکلاز، تفریق هورنبلند و محتوای آب بالا در رخساره اکلوژیت ایجاد شده‌اند (Kay, 1978; Defant and Drummond, 1990; Drummond et al., 1996) (et al., 1996). نسبت‌های بالای $\text{La}_{\text{n}}/\text{Yb}$ و Sr/Y در سنگ‌های نفوذی مرتبط با کانسارهای پورفیری هستند که در اثر جای‌گیری، این مانع‌گماها در پوسته بالایی (با محتوای بالای آب مانع‌گماشی) تشکیل کانسارهای پورفیری را به دنبال داشته‌اند (Sajona and Maury, 1998; Sun et al., 2011). طبق پژوهش ریچارد (Richards, 2011)، دو نظریه تفریق کانی‌های هورنبلند و گارنت و آلودگی توسط پوسته برای تشکیل مانع‌گماشی بارور پورفیری وجود دارد.

بررسی‌ها نشان می‌دهد که معمولاً کانه‌زایی مس پورفیری در مانع‌گماشی با ماهیت کالک‌آلکالن آبدار صورت می‌گیرد. یکی از عوامل لازم در تشکیل توده‌های بارور، وجود شرایط اکسیدان، تفریق پیشرفته مانع‌گما و تبلوربخشی کانه‌دار همچون هورنبلند است. تبلور هورنبلند معمولاً در شرایط با حجم زیاد آب (حداقل ۴ درصد) انجام می‌شود (Sillitoe, 1972). همراه با تبلور هورنبلند احتمالاً مقدار زیادی مس از سیستم آزاد می‌شود و عناصر نامتحرك در ساختار هورنبلند تمرکز می‌یابند. ضمن اینکه مهم‌ترین پدیده رایج در سنگ‌های مس‌دار، تبلوربخشی هورنبلند است و در سنگ‌های گرانیتی که بدون کانه‌زایی مس هستند، تبلوربخشی پلاژیوکلاز صورت می‌گیرد (Zarasvandi et al., 2015). عنصر Eu به دو صورت اکسید Eu^{2+} ، Eu^{3+} در شرایط ماگماشی حضور دارد. عنصر Eu^{2+} می‌تواند به راحتی جایگزین Ca^{2+} در ساختار پلاژیوکلاز شود. در نتیجه می‌توان از این عنصر به عنوان نشانگری حساس در شکست پلاژیوکلاز استفاده کرد. این ویژگی برای تمایز توده‌های نفوذی بارور و نابارور، کمک شایانی است. به این صورت که وجود آنومالی مثبت $(\text{Eu}_{\text{n}}/\text{Eu}^*) = 1$ در توده‌های مرتبط با کانه‌زایی نشان‌دهنده نبود تفریق پلاژیوکلاز از مانع‌گماشی اولیه، تشکیل هورنبلند با محتوای بالای آب مانع‌گماشی و حالت اکسیداسیون بالای مانع‌گماست (Frey et al., 1978; Green and Perason, 1985; Richards et al., 2012). بر این اساس، الگوی نرم‌مالیزشده REE و نمودار نسبت $\text{SiO}_2/\text{Eu}_{\text{n}}$ به $\text{Eu}_{\text{n}}/\text{Eu}^*$ (شکل‌های ۵ و ۶) در توده نفوذی‌های مرتبط با کانه‌زایی مس پورفیری در زون ساختاری ارومیه-دختر نشان می‌دهد که تمامی نمونه‌ها دارای آنومالی Eu مثبت تا نسبتاً مثبت است (شکل ۶). در مقابل نفوذی‌های گرانیتوئیدی زون سنتدج-سیرجان (به سن ژوراسیک) همگی دارای آنومالی Eu منفی هستند (شکل‌های ۵ و ۶). با مقایسه دو گروه توده نفوذی می‌توان بیان کرد که در نفوذی‌های زون ساختاری ارومیه-

پوسته در حین فرورانش و فرایند پس از برخورد موجب فشردگی، افزایش دما-فشار (رخساره اکلوژیتی)، هضم و آلودگی ماگمای جایگزین شده در پوسته پایینی^۱ می‌شود. در ادامه نیز می‌توان بیان کرد که زمان کافی سبب توسعه بیشتر ذوب، هضم سنگ‌های پوسته توسط ماگمای گوشه و پدیدآمدن شبه آداکیتی می‌شود. در نهایت، فرایند تفریق هورنبلند موجب افزایش میزان آب ماگما و ایجاد ماگمای بارور Klepeis et al., 2003; Dufek and را به دنبال دارد (Bergantz, 2005; Richards, 2015). ماگماهای گرانیتoidی (ماگمای آداکیتی) ایجاد شده در این بخش از نواحی فرورانش دارای دیگر ویژگی‌های خاص در عناصر نادر خاکی REE است. از جمله این ویژگی‌ها می‌توان به شب زیاد در الگوی REE، غنی‌شدگی LREE، تهی‌شدگی HREE به همراه افزایش نسبت‌های Sm_n/Yb_n و La_n/Sm_n، مقایسه نسبت نرمالیزشده (La/Sm)_n LREE/MREE و همچنین نسبت نرمالیزشده (Dy/Yb)_n MREE/HREE که بیانگر تفریق هورنبلند است، اشاره کرد.

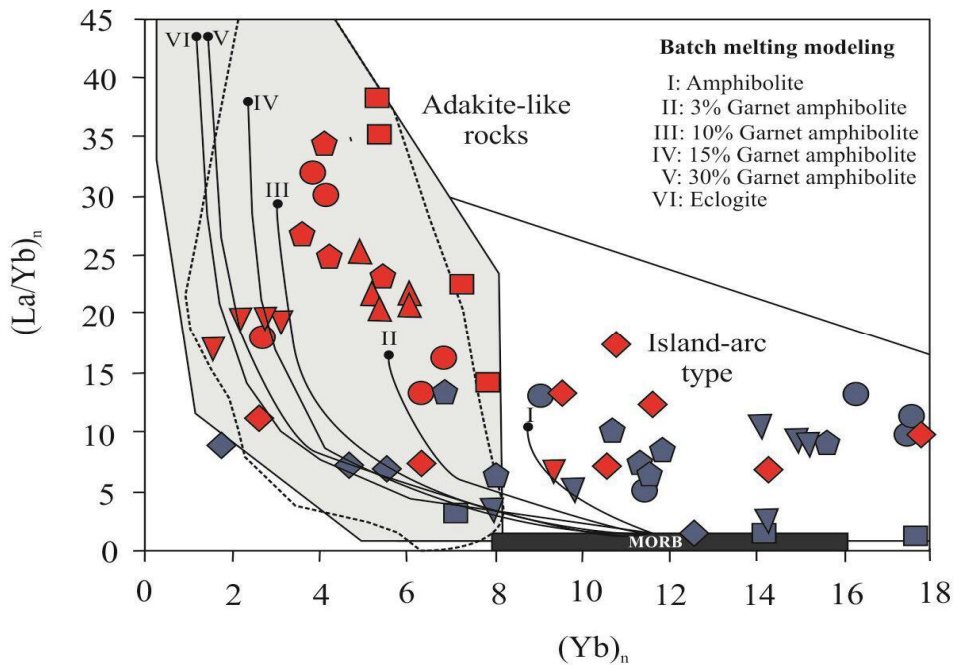
با توجه به نمودار نسبت نرمالیزشده Yb_n/La_n/Yb_n به (Drummond et al., 1996) (شکل‌های ۷ و ۹) محدوده تشکیل کانی آمفیبول (با درصد آب بالا) قرار می‌گیرند (شکل ۷)؛ در صورتی که نمونه‌های توده نفوذی‌های مربوط به زون سنتنگ-سیرجان در محدوده سنگ‌های غیر آداکیتی و محدوده سنگ‌های جزایر کمانی واقع شده‌اند (شکل ۷). همچنین پس از ترسیم نمونه‌های مرتبط با توده‌های نفوذی زون ارومیه-دختر در نمودار Y/SiO₂ و نمودار نسبت La_n/Yb_n به (Richards and Kerrich, 2007) مشاهده شد که تمام نمونه‌ها در محدوده سنگ‌های شبه آداکیتی واقع شده‌اند (شکل‌های ۸ و ۹)؛ در صورتی که نمونه‌های مربوط با توده نفوذی‌های زون ساختاری سنتنگ-سیرجان اغلب در محدوده سنگ‌های غیر آداکیتی هستند (شکل‌های ۸ و ۹).

عمده کانه‌زایی‌های مس پورفیری اغلب همراه با فرورانش حاشیه قاره‌ای و تشکیل ماگمایی با ماهیت کالک‌آلکالن آبدار است. بررسی‌های انجام شده نشان می‌دهد که ضخیم شدگی



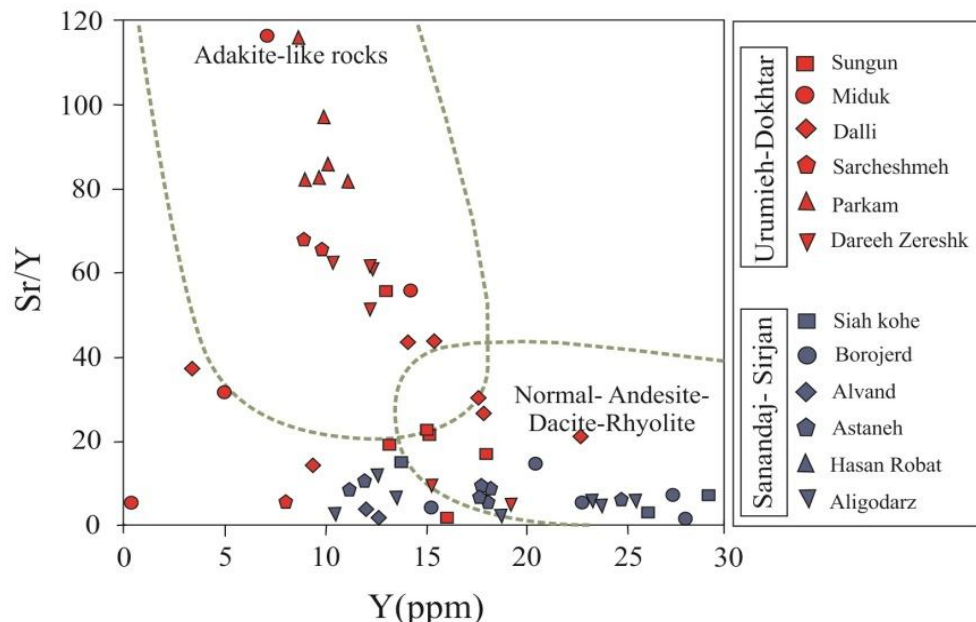
شکل ۶. نمودار نسبت $^{*}\text{Eu}_{\text{n}}/\text{Eu}$ به SiO_2 برای توده‌های نفوذی ارومیه-دختر و سنتنگ-سیرجان (Richards et al., 2001)

Fig. 6. Diagram of Eun/Eu^* ($\text{Eun}/\text{Eu}^* = \text{Eun}/\sqrt{\text{Smn} + \text{Gdn}}$) vs. SiO_2 for Urumieh-Dokhtar and Sanandaj-Sirjan intrusions (Richards et al., 2001)



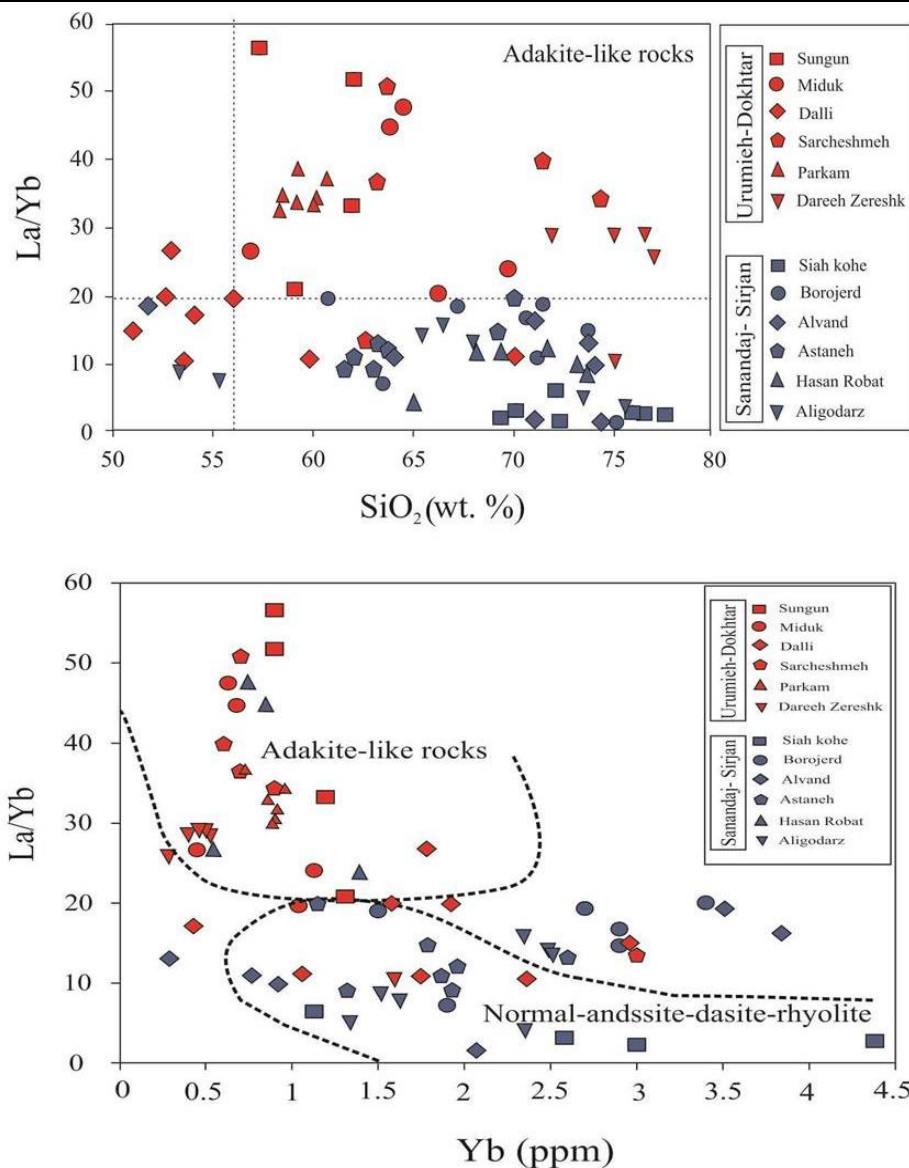
شکل ۷. نمودار نرمالیزشده نسبت $[La/Yb]_n$ برای توده‌های نفوذی ارومیه- دختر و سنتندج- سیرجان (Drummond et al., 1996)

Fig. 7. Diagram of batch-melting modeling of chondrite-normalized $[La/Yb]_n$ ratios vs. $[Yb]_n$ for Urumieh-Dokhtar and Sanandaj-Sirjan intrusions (Drummond et al., 1996)



شکل ۸. نمودار نسبت Sr/Y به Y برای توده‌های نفوذی ارومیه- دختر و سنتندج- سیرجان که نشان‌دهنده سنگ‌های شبه آدکیتی، داسیتی و ریولیت است (Defant and Drummond, 1990)

Fig. 8. Diagram of Sr/Y vs. Y , for Urumieh-Dokhtar and Sanandaj-Sirjan intrusions indicating adakite-like, dasitic and riolitic (Defant and Drummond, 1990)



شکل ۹. نمودارهای نسبت La/Yb به Yb برای توده‌های نفوذی ارومیه-دختر و سندنگ-سیرجان که نشان‌دهنده سنگ‌های آداکیتی و داسیت و ریولیت است (Richards and Kerrich, 2007)

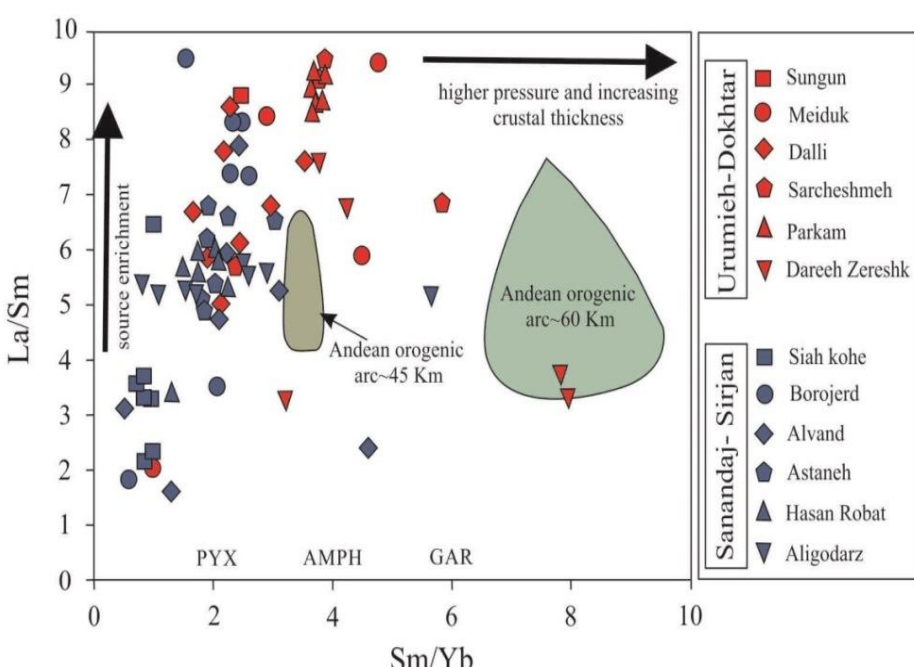
Fig. 9. La/Yb versus SiO₂ (wt. %) and La/Yb versus Y (ppm) plots for Urumieh-Dokhtar and Sanandaj-Sirjan intrusions representing adakite-like, dasite and rhyolitic rocks (Richards and Kerrich, 2007)

HREE است (شکل ۶). ضمن اینکه پلاٹ نمونه‌های هر دو گروه توده‌های نفوذی زون‌های مورد بررسی در نمودار La/Sm به Sm/Yb (Kay and Mpodozis, 2001) مشخص می‌کند که تمام نفوذی‌های مرتبط با کانه‌زایی مس پورفیری در ارومیه-دختر میزان بالایی از La/Sm و Sm/Yb را دارا هستند و در محدوده ضخیم شدگی پوسته (حدود ۶۵ تا ۴۵ کیلومتر) قرار

کلیه الگوهای REE رسم شده توده‌های نفوذی مرتبط با کانه‌زایی مس پورفیری در زون ساختاری ارومیه-دختر غنی شدگی LREE، تهی شدگی HREE و شب تند به سمت HREEها را نشان می‌دهند (شکل ۵). در صورتی که الگوهای REE رسم شده توده‌های نفوذی زون ساختاری سندنگ-سیرجان اغلب دارای شب ملایم از LREE به سمت

ضخامت ۳۰ تا ۳۵ کیلومتری واقع شده‌اند (شکل ۱۰) و این امر سبب عدم تشکیل مagmaهای بارور در این زون ساختاری شده است.

گرفته‌اند (شکل ۱۰). در مقابل توده‌های نفوذی زون سنتنگ- سیرجان اغلب دارای میزان پایین La/Sm و Sm/Yb هستند (شکل ۱۰). اغلب نمونه‌های نفوذی این زون در محدوده با



شکل ۱۰. مقایسه توده‌های نفوذی ارومیه- دختر با سنتنگ- سیرجان بر اساس نمودار Sm/Yb به La/Sm برای نشان دادن ضخیم شدگی پوسته (Kay and Mpodozis, 2001)

Fig. 10. Comparative Sm/Yb vs. La/Sm plots of Urumieh-Dokhtar and Sanandaj- Sirjan. Arrows show crustal thickness (Kay and Mpodozis, 2001)

گواهی بر تفاوت اساسی از نظر محیط زمین‌ساختی، زمین‌شیمی گرانیتوئیدهای ژوراسیک زون سنتنگ- سیرجان با گرانیتوئیدهای حاوی کانه‌زایی مس پورفیری در زون ارومیه- دختر است. بر این اساس، با توجه به ویژگی‌های عناصر نادر خاکی REE، عناصر اصلی و ویژگی‌های سنگ‌شناختی در توده‌های نفوذی این دو زون ساختاری، به مقایسه این توده‌های گرانیتوئیدی پرداخته شده است. بررسی‌های زمین‌شیمیایی انجام شده بر روی توده‌های گرانیتوئید زون ساختاری ارومیه- دختر و سنتنگ- سیرجان نشان می‌دهد که توده‌های نفوذی زون LREE- دختر دارای آنومالی‌های مثبت Eu، غنی شدگی HREE است. آنومالی مثبت Eu نیز بیانگر وجود

نتیجه‌گیری

فرورانش پوسته اقیانوسی نشوتنیس به زیر زون‌های ساختاری سنتنگ- سیرجان (مزوزوئیک) و ایران مرکزی (سنوزوئیک) موجب پدیدآمدن تعداد زیادی توده نفوذی گرانیتوئیدی بارور و نابارور در این دو زون ساختاری شده است. بررسی‌های انجام شده بر روی توده‌های نفوذی این دو زون ساختاری نشان می‌دهد که اغلب کانسارهای مس پورفیری اکتشاف شده در زون ساختاری ارومیه- دختر همراه با توده‌های گرانیتوئیدی (با گرایش شبه آداتیتی) به سن میون سن هستند. علی‌رغم اینکه توده‌های گرانیتوئیدی زون ساختاری سنتنگ- سیرجان اغلب دارای سن ژوراسیک و بدون کانه‌زایی هستند، این موضوع خود

مقایسه نسبت‌های $\text{Sm}_{\text{n}}/\text{Yb}_{\text{n}}$ و $\text{La}_{\text{n}}/\text{Sm}_{\text{n}}$ در توده‌های نفوذی دو زون ساختاری ارومیه-دختر و سنتدج-سیرجان نشانگر افزایش این نسبت‌ها در زون ساختاری ارومیه-دختر است که این ویژگی ناشی از تفریق هورنبلند و ضخیم شدن پوسته در حین فروزانش و فرایند پس از برخورد است. این سازوکار به فشردگی، افزایش دما و فشار، هضم و آسودگی مانگمای جایگزین شده در پوسته پایینی منجر می‌شود. در حالی که توده‌های نفوذی زون سنتدج-سیرجان اغلب با میزان پایین $\text{Sm}_{\text{n}}/\text{Yb}_{\text{n}}$ و $\text{La}_{\text{n}}/\text{Sm}_{\text{n}}$ ، نشان‌دهنده عدم ضخیم شدن در حین برخورد است و باید اذعان داشت که این امر موجب عدم تشکیل مانگمای بارور در این زون ساختاری شده است. در نتیجه می‌توان بیان کرد که فرایندهای برخورد و پس از برخورد (ضخیم شدن پوسته) در زون ساختاری ارومیه-دختر باعث ایجاد مانگمای تفریق یافته آبدار و تبلوربخشی هورنبلند شده است. لذا همراه با تبلور هورنبلند احتمالاً مقادیر زیادی مس از سیستم آزاد شده و عناصر نامتحرک در ساختار هورنبلند تمرکز یافته است. کلیه فرایندهای رخداده به کانه‌زایی مس همراه با توده‌های نفوذی گرانیتوئیدی در زون ساختاری ارومیه-دختر نسبت به زون ساختاری سنتدج-سیرجان منجر شده است.

شرايط اکسیدان، تفریق پیشرفته مانگما و تبلوربخشی کانی آبدار نظیر هورنبلند است. در صورتی که توده‌های نفوذی زون LREE-سیرجان دارای آنومالی منفی Eu، شب ملایم به سمت HREE است. آنومالی منفی Eu در این توده‌ها بیان کننده تبلوربخشی پلازیو کلاز است. مقایسه نسبت‌های Sr/Y و $\text{La}_{\text{n}}/\text{Yb}_{\text{n}}$ در دو زون ساختاری ارومیه-دختر و سنتدج-سیرجان بیانگر این مطلب است که نسبت‌های یادشده در توده‌های نفوذی ارومیه-دختر بیشتر از توده‌های نفوذی زون سنتدج-سیرجان است. این ویژگی بیانگر ذوب‌بخشی لیتوسفر اقیانوسی آبدار و تشکیل سنگ‌های شبه آداسکیتی در زون ارومیه-دختر است. از جمله عواملی که باعث افزایش میزان Sr در سنگ‌های شبه آداسکیتی می‌شود، تشکیل نشدن پلازیو کلاز و تفریق هورنبلند در رخساره اکلوژیت است. در نتیجه، نسبت بالای Sr/Y ، $\text{La}_{\text{n}}/\text{Yb}_{\text{n}}$ در سنگ‌های نفوذی می‌تواند مرتبط با کانسارهای پورفیری باشد که در اثر جای‌گیری این مانگماها در پوسته بالایی (با محتوای بالای آب مانگمایی) موجب تشکیل کانسارهای پورفیری در زون ساختاری ارومیه-دختر شده است؛ در صورتی که نمونه توده نفوذی‌های موجود در زون سنتدج-سیرجان همگی در محدوده سنگ‌های غیر آداسکیتی و محدوده سنگ‌های جزایر کمانی واقع شده‌اند.

References

- Aghazadeh, M., 2015. Petrogenesis and U-Pb age dating of intrusive bodies in the Sar Cheshmeh deposit. Scientific Quarterly Journal, Geosciences, 25(97): 291–312. (in Persian with English abstract)
- Ahmadian, J., Haschke, M., McDonald, I., Regelous, M., RezaGhorbani, M., Emami, M.H. and Murata, M., 2009. High magmatic flux during Alpine-Himalayan collision: Constraints from the Kal-e-Kafi complex, central Iran. Geological Society of America Bulletin, 121(5–6): 57–868.
- Alavi, M., 1980. Tectonostratigraphic evolution of the Zagrosides of Iran. Geology, 8(3): 144–149.
- Alavi, M., 1994. Tectonics of the Zagros orogenic belt of Iran: new data and interpretations. Tectonophysics, 229(3–4): 211–238.
- Aliani, F., Maanijou, M., Sabouri, Z. and Sepahi, A.A., 2012. Petrology, geochemistry and geotectonic environment of the Alvand Intrusive Complex, Hamedan, Iran. Chemie der Erde-Geochemistry, 72(4): 363–383.
- Alirezaei, S. and Hassanzadeh, J., 2012. Geochemistry and zircon geochronology of the Permian A-type Hasanrobat granite, Sanandaj–Sirjan belt: A new record of the Gondwana break-up in Iran. Lithos, 15(151): 122–134.

- Arvin, M., Pan, Y.M., Dargahi, S., Malekizadeh, A. and Babaei, A., 2007. Petrochemistry of the Siah-Kuh granitoid stock southwest of Kerman, Iran: implications for initiation of neotethys subduction. *Journal of Asian Earth Sciences*, 30(3): 474–489.
- Asadi, S., Moore, F. and Zaravandi, A., 2014. Discriminating productive and barren porphyry copper deposits in the southeastern part of the central Iranian volcano-plutonic belt, Kerman region, Iran: a review. *Earth-Science Reviews*, 30(138): 25–46.
- Asadi, S., Moore, F., Zaravandi, A. and Khosrojerdi, M., 2013. First report on the occurrence of CO₂-bearing fluid inclusions in the Meiduk porphyry copper deposit, Iran: implications for mineralisation processes in a continental collision setting. *Geologos*, 19(4): 301–320.
- Ayati, F., Yavuz, F., Asadi, H.H., Richards, J.P. and Jourdan, F., 2013. Petrology and geochemistry of calc-alkaline volcanic and subvolcanic rocks, Dalli porphyry copper-gold deposit, Markazi Province, Iran. *International Geology Review*, 55(2): 158–184.
- Baldwin, J.A. and Pearce, J.A., 1982. Discrimination of productive and nonproductive porphyritic intrusions in the Chilean Andes. *Economic Geology*, 77(3): 664–674.
- Barzegar, H., 2007. Geology, petrology and geochemical characteristics of alteration zones within the Seridune prospect, Kerman, Iran. Ph.D. thesis, Aachen University, Aachen, Germany, 320 pp.
- Berberian, M. and King, G.C.P., 1981. Towards a paleogeography and tectonic evolution of Iran. *Canadian Journal of Earth Sciences*, 18(2): 210–265.
- Berberian, F., Muir, I.D., Pankhurst, R.J. and Berberian, M., 1982. Late Cretaceous and early Miocene Andean-type plutonic activity in northern Makran and Central Iran. *Journal of the Geological Society*, 139(5): 605–614.
- Bissig, T., Clark, A.H., Lee, J.K. and von Quadt, A., 2003. Petrogenetic and metallogenetic responses to Miocene slab flattening: new constraints from the El Indio-Pascua Au–Ag–Cu belt, Chile/Argentina. *Mineralium Deposita*, 38(7): 844–862.
- Calagari, A.A., 2003. Stable isotope (S, O, H and C) studies of the phyllitic and potassic–phyllitic alteration zones of the porphyry copper deposit at Sungun, East Azarbaidjan, Iran. *Journal of Asian Earth Sciences*, 21(7): 767–780.
- Castillo, P.R., 2012. Adakite petrogenesis. *Lithos*, 134: 304–316.
- Chappell, B.W. and White, A.J.R., 2001. Two contrasting granite types: 25 years later. *Australian Journal of Earth Sciences*, 48(4): 489–499.
- Daneshjou, M., 2014. Investigation of geology, geochemistry and genetic model of the Dalli porphyry Cu–Au deposit, Delijan, Markazi province. M.Sc. Thesis, Shahid Chamran University, Ahvaz, Iran, 150 pp. (in Persian with English abstract).
- Davoudzadeh, M. and Schmidt, K., 1984. A review of the Mesozoic paleogeography and paleotectonic evolution of Iran. *Neues Jahrbuch für Geologie und Paläontologie, Abhandlungen*, 168(2–3): 182–207.
- Defant, M.J. and Drummond, M.S., 1990. Derivation of some modern arc magmas by melting of young subducted lithosphere. *Nature*, 347(6294): 662–665.
- Drummond, M.S., Defant, M.J. and Kepezhinskas, P.K., 1996. Petrogenesis of slab-derived trondhjemite-tonalite-dacite/adakite magmas. *Geological Society of America Special Papers*, 315: 205–215.
- Dufek, J. and Bergantz, G.W., 2005. Lower crustal magma genesis and preservation: a stochastic framework for the evaluation of basalt–crust interaction. *Journal of Petrology*, 46(11): 2167–2195.
- Esna-Ashari, A., Tiepolo, M., Valizadeh, M.V., Hassanzadeh, J. and Sepahi, A.A., 2012. Geochemistry and zircon U–Pb geochronology of Aligoodarz granitoid complex, Sanandaj–Sirjan zone, Iran. *Journal of Asian Earth Sciences*, 43(1): 11–22.
- Fatehi, M. and Asadi Haroni, H., 2019. Geophysical signatures of the gold rich porphyry copper deposits: A case study at the Dalli Cu–Au porphyry deposit. *Journal of Economic Geology*, 10(2): 639–675. (in Persian with English abstract).
- Frey, F.A., Chappell, B.W. and Roy, S.D., 1978. Fractionation of rare-earth elements in the

- Tuolumne Intrusive Series, Sierra Nevada batholith, California. *Geology*, 6(4): 239–242.
- Ghasemi, A. and Talbot, C.J., 2006. A new tectonic scenario for the Sanandaj–Sirjan Zone (Iran). *Journal of Asian Earth Sciences*, 26(6): 683–693.
- Ghazi, J.M. and Moazzen, M., 2015. Geodynamic evolution of the Sanandaj–Sirjan Zone, Zagros Orogen, Iran. *Turkish Journal of Earth Sciences*, 24(5): 513–528.
- Ghorashizadeh, M., 1978. Development of Hypogene and Supergene Alteration and Copper Mineralization Patterns, Sar Cheshmeh Porphyry Copper Deposit, Iran. M.Sc. thesis, Brock University, Canada.
- Green, T.H. and Pearson, N.J., 1985. Experimental determination of REE partition coefficients between amphibole and basaltic to andesitic liquids at high pressure. *Geochimica et Cosmochimica Acta*, 49(6): 1465–1468.
- Hassanzadeh, J., 1993. Metallogenic and tectonomagmatic events in the SE sector of the Cenozoic active continental margin of central Iran (Shahr-e-Babak area, Kerman Province). Ph.D. thesis, University of California, Los Angeles, Henderson, 420 pp.
- Hezarkhani, A., 2006. Petrology of the intrusive rocks within the Sungun porphyry copper deposit, Azerbaijan, Iran. *Journal of Asian Earth Sciences*, 27(3): 326–340.
- Hezarkhani, A. and Williams-Jones, A.E., 1998. Controls of alteration and mineralization in the Sungun porphyry copper deposit, Iran; evidence from fluid inclusions and stable isotopes. *Economic Geology*, 93(5): 651–670.
- Jazi, M.A., Karimpour, M.H. and Malekzadeh Shafaroudi, A., 2013. Overview of the geochemistry and Rb/Sr, Sm/Nd isotopes of Middle Jurassic and Tertiary granitoid intrusions: a new insight on tectonomagmatism and mineralization of this period in Iran. *Journal of Economic Geology*, 2(4): 171–198. (in Persian)
- Kay, R.W., 1978. Aleutian magnesian andesites: melts from subducted Pacific Ocean crust. *Journal of Volcanology and Geothermal Research*, 4(1–2): 117–132.
- Kay, S.M. and Mpodozis, C., 2001. Central Andean ore deposits linked to evolving shallow subduction systems and thickening crust. GSA today, Geological Society of America, 11: 4–9.
- Khalaji, A.A., Esmaeily, D., Valizadeh, M.V. and Rahimpour-Bonab, H., 2007. Petrology and geochemistry of the granitoid complex of Boroujerd, Sanandaj–Sirjan Zone, Western Iran. *Journal of Asian Earth Sciences*, 29(5): 859–877.
- Kirkham, R.V. and Dunne, K.P., 2000. World distribution of porphyry, porphyry-associated skarn, and bulk-tonnage epithermal deposits and occurrences. Geological Survey of Canada, Open File 3792, http://geochem.nrcan.gc.ca/cdogs/content/pub/pub10339_e.htm
- Klepeis, K.A., Clarke, G.L. and Rushmer, T., 2003. Magma transport and coupling between deformation and magmatism in the continental lithosphere. Geological Survey of Canada, 13(1): 4–11.
- Lang, J.R. and Titley, S.R., 1998. Isotopic and geochemical characteristics of Laramide magmatic systems in Arizona and implications for the genesis of porphyry copper deposits. *Economic Geology*, 93(2): 138–170.
- Mackenzie, W.S., Cox, K.G., Bell, J.D. and Pankhurst, R.J., 1979. The interpretation of igneous rocks. *Mineralogical Magazine*, 44(333): 115–116.
- Macpherson, C.G., Dreher, S.T. and Thirlwall, M.F., 2006. Adakites without slab melting: high pressure differentiation of island arc magma, Mindanao, the Philippines. *Earth and Planetary Science Letters*, 243(3): 581–593.
- McInnes, B.I., Evans, N.J., Fu, F.Q. and Garwin, S., 2005. Application of thermochronology to hydrothermal ore deposits. *Reviews in Mineralogy and geochemistry*, 58(1): 467–498.
- Mohajjal, M., Ferguson, C.L. and Sahandi, M.R., 2003. Cretaceous–Tertiary convergence and continental collision, Sanandaj–Sirjan zone, western Iran. *Journal of Asian Earth Sciences*, 21(4): 397–412.
- Mohammadi Laghab, H., Taghipour, N. and Iranmanesh, M.R., 2012. Distribution pattern of Cu, Mo, Pb, Zn and Fe elements in Sara (Parkam) porphyry copper deposit, Shahr-Babak, Kerman province, Iran. *Quarterly Iranian Journal of Geology*, 5(20): 17–27. (in Persian with English abstract)

- Pourkaseb, H., Zaravandi, A., Saed, M. and Davoudian Dehkordy, A., 2017. Magmatic-hydrothermal fluid evolution of the Dalli porphyry Cu-Au deposit; using Amphibole and Plagioclase mineral chemistry. *Journal of Economic Geology*, 9(1): 73–92. (in Persian with English abstract)
- Rapp, R.P. and Watson, E.B., 1995. Dehydration melting of metabasalt at 8–32 kbar: implications for continental growth and crust-mantle recycling. *Journal of Petrology*, 36(4): 891–931.
- Richards, J.P., 2011. High Sr/Y arc magmas and porphyry Cu±Mo±Au deposits: just add water. *Economic Geology*, 106(7): 1075–1081.
- Richards, J.P., 2015. Tectonic, magmatic, and metallogenic evolution of the Tethyan orogen: From subduction to collision. *Ore Geology Reviews*, 70(45): 323–345.
- Richards, J.P., Boyce, A.J. and Pringle, M.S., 2001. Geologic evolution of the Escondida area, northern Chile: a model for spatial and temporal localization of porphyry Cu mineralization. *Economic Geology*, 96(2): 271–305.
- Richards, J.P. and Kerrich, R., 2007. Special paper: adakite-like rocks: their diverse origins and questionable role in metallogenesis. *Economic geology*, 102(4): 537–576.
- Richards, J.P., Spell, T., Rameh, E., Razique, A. and Fletcher, T., 2012. High Sr/Y magmas reflect arc maturity, high magmatic water content, and porphyry Cu±Mo±Au potential: examples from the Tethyan arcs of Central and Eastern Iran and Western Pakistan. *Economic Geology*, 107(2): 295–332.
- Sajona, F.G. and Maury, R.C., 1998. Association of adakites with gold and copper mineralization in the Philippines. *Comptes Rendus de l'Académie des Sciences-Series IIA- Earth and Planetary Science*, 326(1): 27–34.
- Shafiei, B., 2010. Lead isotope signatures of the igneous rocks and porphyry copper deposits from the Kerman Cenozoic magmatic arc (SE Iran), and their magmatic-metallogenetic implications. *Ore Geology Reviews*, 38(1): 27–36.
- Shafiei, B., 2012. Discrimination between productive and non-productive granitoid intrusions in Kerman porphyry copper belt: Results of preliminary petrographic studies. *Journal of Advanced Applied Geology*, 2(1): 1–7. (in Persian with English abstract)
- Shafiei, B., Haschke, M. and Shahabpour, J., 2009. Recycling of orogenic arc crust triggers porphyry Cu mineralization in Kerman Cenozoic arc rocks, southeastern Iran. *Mineralium Deposita*, 44(3): 265–283.
- Shafiei, B. and Shahabpour, J., 2008. Gold distribution in porphyry copper deposits of Kerman region, Southeastern Iran. *Journal of Sciences, Islamic Republic of Iran*, 19(3): 247–260. (in Persian with English abstract)
- Shafiei, B., Shahabpour, J. and Haschke, M., 2008. Transition from Paleogene normal calc-alkaline to Neogene adakitic-like plutonism and Cu-metallogenesis in the Kerman porphyry copper belt: response to Neogene crustal thickening. *Journal of Sciences, Islamic Republic of Iran*, 19(1): 67–84. (in Persian with English abstract)
- Shahabpour, J. and Kramers, J.D., 1987. Lead isotope data from the Sar-Cheshmeh porphyry copper deposit, Iran. *Mineralium Deposita*, 22(4): 278–281.
- Shahbazi, H., Siebel, W., Pourmoafee, M., Ghorbani, M., Sepahi, A.A., Shang, C.K. and Abedini, M.V., 2010. Geochemistry and U-Pb zircon geochronology of the Alvand plutonic complex in Sanandaj-Sirjan Zone (Iran): New evidence for Jurassic magmatism. *Journal of Asian Earth Sciences*, 39(6): 668–683.
- Sillitoe, R.H., 1972. A plate tectonic model for the origin of porphyry copper deposits. *Economic Geology*, 67(2): 184–197.
- Simmonds, V., Moazzen, M. and Mathur, R., 2016. Investigation on the age of mineralization in the Sungun porphyry Cu-Mo deposit, NW Iran with a regional metallogenetic perspective. In European Geosciences Union General Assembly Conference Abstracts, Vienna universiyy, Vienna, Austria.
- Sun, W., Zhang, H., Ling, M.X., Ding, X., Chung, S.L., Zhou, J., Yang, X.Y. and Fan, W., 2011. The genetic association of adakites and Cu–Au ore deposits. *International Geology Review*, 53(5–6): 691–703.
- Sylvester, P.J., 1998. Post-collisional strongly peraluminous granites. *Lithos*, 45(1): 29–44.
- Taghipour, N., 2007. The application of fluid inclusions and isotope geochemistry as guides

- for exploration, alteration and mineralization at the Meiduk porphyry copper deposit, Shahr-Babak, Kerman. Unpublished Ph.D. thesis, Shahid Bahonar University, Kerman, Iran, 321 pp.
- Taghipour, N. and Mohammadi Laghab, H., 2014. Sara (Parkam) Porphyry Copper Deposit in Kerman, Iran: Petrography, Geochemistry and Geodynamic Setting. *Geochemistry Journal*, 1(3): 14–26.
- Tahmasbi, Z., Castro, A., Khalili, M., Khalaji, A.A. and de la Rosa, J., 2010. Petrologic and geochemical constraints on the origin of Astaneh pluton, Zagros orogenic belt, Iran. *Journal of Asian Earth Sciences*, 39(3): 81–96.
- Takin, M., 1972. Iranian geology and continental drift in the Middle East. *Nature*, 235(5334): 47–150.
- Tiepolo, M., Tribuzio, R. and Langone, A., 2011. High-Mg andesite petrogenesis by amphibole crystallization and ultramafic crust assimilation: evidence from Adamello hornblendites (Central Alps, Italy). *Journal of Petrology*, 52(5): 1011–1045.
- Zarasvandi, A., Liaghat, S. and Zentilli, M., 2004. Evolution of the Darreh-Zereshk and Ali-Abad porphyry copper deposits, central Iran, within an orogen-parallel strike-slip system. 30th Annual Meeting of Atlantic Geoscience Society, Moncton, New Brunswick, Canada.
- Zarasvandi, A., Liaghat, S. and Zentilli, M., 2005. Geology of the Darreh-Zereshk and Ali-Abad porphyry copper deposits, central Iran. *International Geology Review*, 47(6): 620–646.
- Zarasvandi, A., Liaghat, S., Zentilli, M. and Reynolds, P.H., 2007. $^{40}\text{Ar}/^{39}\text{Ar}$ geochronology of alteration and petrogenesis of porphyry copper-related granitoids in the Darreh-Zereshk and Ali-Abad area, central Iran. *Exploration and Mining Geology*, 16(1–2): 11–24.
- Zarasvandi, A., Rezaei, M., Sadeghi, M., Lentz, D., Adelpour, M. and Pourkaseb, H., 2015. Rare earth element signatures of economic and sub-economic porphyry copper systems in Urumieh–Dokhtar Magmatic Arc (UDMA), Iran. *Ore Geology Reviews*, 70(35): 407–423.



Comparison of geochemistry and porphyry copper mineralization efficiency in granitoids of the Sanandaj-Sirjan and Urumieh-Dokhtar zones; using rare earth elements geochemistry

Alireza Zaravandi*, Mohsen Rezaei, Majid Tashi, Zahra Fereydouni and Madineh Saed

Department of Geology, Faculty of Earth Sciences, Shahid Chamran University of Ahvaz, Ahvaz, Iran

Submitted: May 17, 2017

Accepted: Nov. 08, 2017

Keywords: REE geochemistry, Granitoid, Porphyry copper, Urumieh–Dokhtar zone, Sanandaj–Sirjan zone

Introduction

The formation of the Zagros orogenic belt is attributed to northeastward oblique subduction of the Neotethys beneath the western border of central Iran. This was followed by continental collision between the Afro-Arabian plate and the central Iran microcontinent (Zaravandi et al., 2015). The Zagros orogen is characterized by three main parallel structural zones consisting of Zagros fold and thrust belt, the Sanandaj-Sirjan metamorphic zone, and the Urumieh-Dokhtar magmatic arc (Mohajjel et al., 2003). The Urumieh-Dokhtar magmatic arc is dominated by the widespread occurrence of Eocene to Quaternary intrusive and extrusive rocks. It is considered as being one of the main Cu bearing regions in the world, where world class giant porphyry deposits, as well as large and small sub-economic porphyry Cu ± Mo ± Au systems have been reported and investigated by many authors (Shafiei et al., 2009; Zaravandi et al., 2005). In addition to UDMA, the Sanandaj-Sirjan zone (SSZ) hosts several Jurassic-Cretaceous intrusive complexes extending from the northwest to southeast SSZ. It should be noted that these granitoids are barren and porphyry mineralization has not been accompanied with these intrusions. This paper tried to compare the available geochemical data of productive granitoids in the Urumieh-Dokhtar (i.e., Dalli, Ali-Abad and Darreh-Zerreshk, Parkam, Sarcheshmeh, Meiduk and Sungun), and those of barren intrusions in the Sanandaj-Sirjan zone (i.e., Aligodarz, Bourujerd, Alvand, Astaneh, Hasan Robat, and Siah Koh).

Materials and methods

This investigation is based on the available

geochemical data on the six barren intrusions in the SSZ (i.e., Aligodarz, Bourujerd, Alvand, Astaneh, Hasan Robat and Siah Kohe), and productive intrusive rocks (porphyry associated intrusions) in the UDMA (i.e., Dalli, Ali-Abad and Darreh-Zerreshk, Parkam, Sarcheshmeh, Meiduk and Sungun). Data for the UDMA porphyry intrusions (41 samples) were adopted from studies of Daneshjou (2014), Zaravandi et al. (2005), Taghipour and Mohammadi Laghab (2014), Barzegar (2007), Taghipour (2007), and Hezarkhani (2006). Furthermore, the data of the SSZ barren intrusions (42 samples) comes from Esna Ashari et al. (2012), Khalaji et al. (2007), Aliani et al. (2012), Tahmasbi et al. (2010), Alirezai and Hassanzadeh (2001), and Arvin et al. (2007). Two criteria were used for selection of 83 representative samples: (1) samples with a relatively similar mineralogical and compositional range (quartz diorite, quartz monzonite, granodiorite and granite), and (2) samples with the least amount of alteration (minimal amounts of Loss On Ignition; LOI wt.% = H₂O + CO₂).

Results

Productive intrusions in UDMA have positive Eu anomalies, LREE enrichment relative to HREE, and high La_n/Yb_n, Sr/Y, Dy_n/Yb_n, La_n/Sm_n ratios. In comparison, barren granitoids in the SSZ are characterized by steep downward LREE to HREE, negative Eu anomalies and low La_n/Yb_n, Sr/Y, Dy_n/Yb_n, La_n/Sm_n ratios.

Discussion

Based on the presented results, it is proved that due to the lack of considerable crustal thickness in SSZ (during the subduction of the Neotethyan

*Corresponding authors Email: zaravandi_a@scu.ac.ir

oceanic lithosphere under the SSZ zone), and the presence of dry magma (low H₂O contents), the SSZ granitoids exhibit barren characteristics. In contrast, during the ongoing processes of closure of Neo-Tethys and during compression and crustal shortening, magma mixing and evolution toward high magmatic water content lead to the increasing of metal endowment in the porphyry associated granitoids of (UDMA) It seems that magma generation from the melting of thickened lower crust (garnet amphibolite source) could be considered as one important key factors for the generation of metal-rich magmas with high oxidation state and high H₂O contents has led to the development of porphyry Cu systems in the UDMA compared to those of SSZ granitoids.

Acknowledgements

The authors are grateful to the Shahid Chamran University of Ahvaz for the research funding by the Grant Commission in 2017.

References

- Aliani, F., Maanijou, M., Sabouri, Z. and Sepahi, A.A., 2012. Petrology, geochemistry and geotectonic environment of the Alvand Intrusive Complex, Hamedan, Iran. *Chemie der Erde-Geochemistry*, 72(4): 363–383.
- Alirezaei, S. and Hassanzadeh, J., 2012. Geochemistry and zircon geochronology of the Permian A-type Hasanrobat granite, Sanandaj–Sirjan belt: A new record of the Gondwana break-up in Iran. *Lithos*, 15(15): 122–134.
- Arvin, M., Pan, Y.M., Dargahi, S., Malekizadeh, A. and Babaei, A., 2007. Petrochemistry of the Siah-Kuh granitoid stock southwest of Kerman, Iran: implications for initiation of neotethys subduction. *Journal of Asian Earth Sciences*, 30(3): 474–489.
- Barzegar, H., 2007. Geology, petrology and geochemical characteristics of alteration zones within the Seridune prospect, Kerman, Iran. Ph.D. thesis, Aachen University, Aachen, Germany, 320 pp.
- Daneshjou, M., 2014. Investigation of geology, geochemistry and genetic model of the Dalli porphyry Cu–Au deposit, Delijan, Markazi province. M.Sc. Thesis, Shahid Chamran University, Ahvaz, Iran, 150 pp. (in Persian with English abstract)
- Esna-Ashari, A., Tiepolo, M., Valizadeh, M.V., Hassanzadeh, J. and Sepahi, A.A., 2012. Geochemistry and zircon U–Pb geochronology of Aligoodarz granitoid complex, Sanandaj–Sirjan zone, Iran. *Journal of Asian Earth Sciences*, 43(1): 11–22.
- Hezarkhani, A., 2006. Petrology of the intrusive rocks within the Sungun porphyry copper deposit, Azerbaijan, Iran. *Journal of Asian Earth Sciences*, 27(3): 326–340.
- Khalaji, A.A., Esmaeily, D., Valizadeh, M.V. and Rahimpour-Bonab, H., 2007. Petrology and geochemistry of the granitoid complex of Boroujerd, Sanandaj-Sirjan Zone, Western Iran. *Journal of Asian Earth Sciences*, 29(5): 859–877.
- Mohajjal, M., Fergusson, C.L. and Sahandi, M.R., 2003. Cretaceous–Tertiary convergence and continental collision, Sanandaj–Sirjan zone, western Iran. *Journal of Asian Earth Sciences*, 21(4): 397–412.
- Shafiei, B., Haschke, M. and Shahabpour, J., 2009. Recycling of orogenic arc crust triggers porphyry Cu mineralization in Kerman Cenozoic arc rocks, southeastern Iran. *Mineralium Deposita*, 44(3): 265–283.
- Taghipour, N., 2007. The application of fluid inclusions and isotope geochemistry as guides for exploration, alteration and mineralization at the Meiduk porphyry copper deposit, Shahr-Babak, Kerman. Unpublished Ph.D. thesis, Shahid Bahonar University, Kerman, Iran, 321 pp.
- Taghipour, N. and Mohammadi Laghab, H., 2014. Sara (Parkam) Porphyry Copper Deposit in Kerman, Iran: Petrography, Geochemistry and Geodynamic Setting. *Geochemistry Journal*, 1(3): 14–26.
- Tahmasbi, Z., Castro, A., Khalili, M., Khalaji, A.A. and de la Rosa, J., 2010. Petrologic and geochemical constraints on the origin of Astaneh pluton, Zagros orogenic belt, Iran. *Journal of Asian Earth Sciences*, 39(3): 81–96.
- Zaravandi, A., Liaghat, S. and Zentilli, M., 2005. Geology of the Darreh-Zerreshk and Ali-Abad porphyry copper deposits, central Iran. *International Geology Review*, 47(6): 620–646.